

Optimalité, congruences et calculs d'invariants des variétés symplectiques réelles de dimension quatre

Jean-Yves Welschinger

Résumé :

Cet article fait suite à un précédent dans lequel étaient introduits une famille d'invariants par déformation χ_r^d , $d \in H_2(X; \mathbb{Z})$, $r \in \mathbb{N}$, des variétés symplectiques réelles fermées de dimension quatre (X, ω, c_X) , invariants qui fournissent des bornes inférieures en géométrie énumérative réelle. Nous montrons ici par des méthodes de théorie symplectique des champs que ces bornes inférieures sont optimales lorsque $r \leq 1$ et le lieu réel de la variété contient une sphère, un tore ou un plan projectif réel (sous des hypothèses plus restrictives dans ce dernier cas). Nous montrons également qu'une puissance importante de deux divise χ_r^d pour des valeurs pas trop grandes de r lorsque le lieu réel contient une sphère ou un plan projectif réel (sous les mêmes hypothèses plus restrictives dans ce dernier cas) et proposons enfin quelques calculs explicites dans le cas du plan projectif ou de la quadrique ellipsoïde ainsi que les formules générales permettant de les obtenir, lesquelles font intervenir des invariants relatifs précédemment définis.

Introduction

Le présent article fait suite au précédent [21] dans lequel étaient introduits une famille d'invariants par déformation des variétés symplectiques réelles fermées de dimension quatre. Une *variété symplectique réelle* est une variété symplectique équipée d'une involution anti-symplectique; chaque variété projective réelle lisse en fournit un exemple. Ces invariants ont une propriété immédiate soulignée dans [21], ils fournissent des bornes inférieures en géométrie énumérative réelle. Comme son titre l'indique à présent, cet article poursuit trois objectifs; le premier est de montrer l'optimalité de ces bornes inférieures, ce que l'on fera dans plusieurs situations (Théorèmes 1.1 et 1.4), le second est de prouver des congruences satisfaites par ces invariants (Théorèmes 2.1, 2.2 et 2.3) et le dernier de présenter quelques calculs de ces invariants ainsi que les formules générales permettant de les obtenir (Théorèmes 3.10, 3.16 et 3.22). Remarquons en passant que les résultats d'optimalité en géométrie énumérative réelle se font rares et que les méthodes systématiques pour y aboutir sont, à ma connaissance, inexistantes. La méthode systématique que l'on utilise ici pour aboutir à nos résultats vient de la théorie symplectique des champs [4].

Soit (X, ω, c_X) une variété symplectique réelle fermée de dimension quatre et soit $d \in H_2(X; \mathbb{Z})$ une classe d'homologie satisfaisant la relation $(c_X)_*d = -d$. Choisissons une structure presque complexe auxiliaire J aussi générale que possible parmi les structures ω -positives qui rendent l'involution c_X anti-holomorphe. Les *courbes J -holomorphes rationnelles réelles* homologues à d , c'est-à-dire les sphères J -holomorphes invariantes par c_X homologues à d , forment alors un espace de dimension $c_1(X)d - 1$, où $c_1(X)$ désigne la première classe de Chern

de la variété (X, ω) . Nous supposons dans ce travail comme dans [21] cette dimension positive ou nulle, puisque le cas contraire signifie que l'espace en question est vide, puis faisons chuter cette dimension à zéro en imposant quelques contraintes à ces courbes, à savoir de passer par une collection de $c_1(X)d - 1$ points distincts. Ces derniers peuvent être choisis réels, c'est-à-dire fixés par c_X , ou bien complexes conjugués, c'est-à-dire échangés par c_X ; nous noterons r le nombre de points réels et r_X le nombre de paires de points complexes conjugués, de sorte que $r + 2r_X = c_1(X)d - 1$. Seul un nombre fini de courbes J -holomorphes rationnelles réelles homologues à d satisfont ces contraintes supplémentaires ; ce nombre dépend en général des choix auxiliaires de la structure presque complexe et de la configuration de points, essentiellement parce que le corps des réels n'est pas algébriquement clos. Toutefois, il ressort de [21] que si l'on compte ces courbes en fonction d'un signe, positif lorsqu'elles ont un nombre pair de points doubles réels isolés et négatif dans le cas contraire, alors l'entier χ_r^d que l'on obtient est indépendant des choix de la structure presque complexe J , de la configuration de points et même de la forme symplectique ω à l'intérieur de sa classe de déformation (voir le Théorème 2.1 de [21]). Cet entier ne dépend que de la classe d'homologie d , du nombre r de points choisis réels et de la répartition de ces points dans les différentes composantes connexes du lieu réel $\mathbb{R}X = \text{fix}(c_X)$ de la variété. En fait, la partie réelle d'une sphère holomorphe réelle étant connexe, cet invariant χ_r^d est contraint de s'annuler dès que ces points ne sont pas tous choisis dans une même composante L du lieu réel. On adoptera la notation $\chi_r^d(L)$ pour indiquer que les r points réels sont choisis dans L . Le nombre $R_d(\underline{x}, J)$ de courbes J -holomorphes rationnelles réelles homologues à d qui contiennent l'ensemble \underline{x} de points que l'on s'est donné se retrouve ainsi borné inférieurement par la valeur absolue de l'invariant $\chi_r^d(L)$; ce sont là les bornes inférieures en géométrie énumérative réelle que l'on a mentionnées plus haut. Ces bornes s'écrivent

$$|\chi_r^d(L)| \leq R_d(\underline{x}, J) \leq N_d, \quad (1)$$

comme énoncées dans le Corollaire 2.2 de [21], le membre N_d désignant le nombre total de courbes J -holomorphes rationnelles satisfaisant ces conditions d'incidence (c'est un invariant de Gromov-Witten de genre zéro de la variété).

C'est à ce stade à peu près que nous a laissé [21] et que l'on reprend ici notre étude en appliquant un principe fondamental de la théorie symplectique des champs en présence d'une telle surface lagrangienne L et d'une structure presque complexe J : on allonge le *cou* de la structure presque-complexe au voisinage de L pour lui conférer une longueur arbitrairement grande. Rappelons qu'un voisinage de L dans X est symplectomorphe à un voisinage de la section nulle dans son fibré cotangent T^*L , un résultat établi dans [19]. Étant donnée une métrique riemannienne sur L , le fibré unitaire cotangent $S^*L = \{(q, p) \in T^*L \mid \|p\| = 1\}$ muni de la restriction de la forme de Liouville λ est une variété de contact de dimension trois. Le complémentaire $T^*L \setminus L$ se trouve être symplectomorphe à la symplectisation $(S^*L \times \mathbb{R}, d(e^t \lambda))$ de cette variété. Ce que l'on appelle cou de longueur arbitrairement grande, c'est une portion arbitrairement grande $S^*L \times [-n, n]$ de cette symplectisation dans laquelle J envoie le champ de Liouville $\partial/\partial t$ sur le champ de Reeb de (S^*L, λ) , préserve les plans de contact et est invariante par translation dans le second facteur, voir [4] et la stratégie générale énoncée au §1.1.2.

Cette technique issue de la théorie symplectique des champs nous permet d'établir les résultats suivants. Lorsque L est une sphère, un tore ou un plan projectif réel (mais dans ce dernier cas (X, ω, c_X) sera elle-même supposée symplectomorphe au plan projectif complexe

éclaté en six boules complexes conjuguées au maximum) et lorsque r_X est maximal ou en d'autres termes lorsque $r \leq 1$, les bornes inférieures (1) sont optimales, atteintes par les structures presque complexes au cou suffisamment long, voir les théorèmes 1.1 et 1.4. Ainsi, lorsqu'on allonge le cou d'une structure presque complexe en préservant l'anti-holomorphie de c_X , il arrive une longueur à partir de laquelle toutes les courbes rationnelles réelles sont comptées en fonction d'un même signe, toutes les éliminations possibles entre courbes s'étant réalisées au cours de l'allongement. Ce phénomène permet plus généralement d'éliminer parfois tous les disques J -holomorphes à bords dans une lagrangienne, même en l'absence de structure réelle. Nous le montrerons dans le cas de sphères lagrangiennes au paragraphe 1.2 qui fait office de digression, voir les Théorèmes 1.6, 1.7 et 1.8. Tous ces résultats font l'objet de la première partie de cet article. Dans la seconde partie, on démontre qu'une puissance importante de deux divise l'invariant χ_r^d lorsque r n'est pas trop grand et L est une sphère ou un plan projectif réel, voir les Théorèmes 2.1, 2.2 et 2.3, le fait que S^*L est un fibré en cercles joue alors un rôle important. Dans la troisième partie de cet article, on présente quelques formules permettant le calcul de χ_r^d dans le plan projectif complexe ou l'ellipsoïde pour de faibles valeurs de r , voir les Corollaires 3.12, 3.18 et 3.23. Ces dernières sont obtenues en brisant la variété en deux morceaux, ce qui brise les courbes rationnelles réelles elle-même en deux morceaux et permet d'exprimer χ_r^d en fonction de deux ingrédients, l'un calculé à l'aide de courbes réelles dans T^*L qui n'est autre qu'un invariant réel relatif à un diviseur réel sans lieu réel -conique imaginaire pure ou section hyperplane réelle disjointe de l'ellipsoïde- et l'autre à l'aide de paires de courbes complexes conjuguées dans $X \setminus L$. Les calculs d'invariants relatifs réalisés dans [18] (voir aussi [8] et [12]) permettent de maîtriser ce deuxième ingrédient. Or, plus r est petit, plus le premier ingrédient est simple de sorte que pour les petites valeurs de r , on déduit de [18] des formules de récurrence générales, voir les Théorèmes 3.10, 3.16 et 3.22.

Ces résultats d'optimalité, de congruences et de calculs ont été annoncés dans la note [24] dans le cas du plan projectif ou de la quadrique de dimension deux; ils ont été présentés la première fois en décembre 2005 lors de l'atelier organisé en l'honneur de Dusa McDuff, à Banff au Canada.

Remerciements :

Je remercie l'Agence nationale de la recherche pour son soutien ainsi que Y. Eliashberg pour ses encouragements à découper les variétés symplectiques en morceaux.

Table des matières

1	Optimalité	4
1.1	Optimalité des bornes inférieures	4
1.1.1	Énoncés des résultats	4
1.1.2	Stratégie générale	5
1.1.3	Démonstration des Théorèmes 1.1 et 1.4	6
1.2	Minimisation du nombre de membranes J -holomorphes	9
1.2.1	En dimension supérieure	10
1.2.2	En dimension quatre	12
1.3	Formulaire	14
2	Congruences	17

2.1	Énoncés des résultats	17
2.2	Démonstrations des Théorèmes 2.1, 2.2 et 2.3	18
3	Calculs	23
3.1	Invariants énumératifs réels de fibrés cotangents	23
3.1.1	Construction des espaces de modules	23
3.1.2	Définition des invariants	26
3.1.3	Quelques calculs	30
3.2	Calculs dans le plan projectif complexe	31
3.2.1	Arbres projectifs	31
3.2.2	Relation avec l'invariant relatif	32
3.3	Calculs dans l'ellipsoïde de dimension deux	34
3.3.1	Arbres deux-sphériques	34
3.3.2	Relation avec l'invariant relatif	35
3.4	Calculs dans l'ellipsoïde de dimension trois	37
3.4.1	Arbres trois-sphériques	37
3.4.2	Relation avec l'invariant relatif	38
	Bibliographie	39

1 Optimalité

1.1 Optimalité des bornes inférieures

1.1.1 Énoncés des résultats

Nous énonçons dans ce premier paragraphe les situations dans lesquelles nous sommes en mesure de montrer l'optimalité des bornes inférieures (1) en dimension quatre. Le paragraphe 1.2 tiendra lieu de digression en dimension supérieure.

Théorème 1.1 *Soit (X, ω, c_X) une variété symplectique réelle fermée de dimension quatre et soit $d \in H_2(X; \mathbb{Z})$ une classe d'homologie satisfaisant $(c_X)_*d = -d$. Supposons que le lieu réel de cette variété possède une sphère ou un plan projectif réel L . Dans ce dernier cas, supposons que (X, ω, c_X) est elle-même symplectomorphe au plan projectif complexe éclaté en six points complexes conjugués au maximum. Les bornes inférieures (1) sont sous ces hypothèses optimales dès que $0 \leq r \leq 1$, atteintes par les structures presque-complexes générales ayant un long cou au voisinage de L . Le signe de l'invariant $\chi_r^d(L)$ est en outre dans ce cas déterminé par l'inégalité $(-1)^{\frac{1}{2}(d^2 - c_1(X)d + 2)} \chi_r^d(L) \geq 0$.*

Remarque 1.2 La dernière partie du Théorème 1.1 signifie que le signe du coefficient de plus bas degré du polynôme $\chi^d(T)$ introduit dans [21] s'interprète comme la parité du genre lisse de la classe d . Le fait que ce signe puisse être négatif en degrés congrus à trois ou quatre modulo quatre dans le plan projectif complexe met en défaut la Conjecture 6 de [9]. Nous montrerons en effet au §3 que cet invariant ne s'annule pas en degrés supérieurs à cinq, voir le Théorème 3.10

Corollaire 1.3 *Soit d une classe d'homologie de dimension deux du plan projectif complexe ou de la quadrique ellipsoïde et $0 \leq r \leq 1$. Les bornes inférieures (1) sont atteintes pour la structure complexe standard lorsque les points complexes conjugués sont choisis très proches d'une conique imaginaire pure dans le premier cas et d'une section hyperplane réelle disjointe de L dans le second.*

Démonstration :

Dans ces deux cas, la structure complexe standard de la variété possède un cou infiniment long au voisinage de L . Il s'agit d'un voisinage fibré en disques de la conique imaginaire pure ou de la section hyperplane réelle privé de la conique ou de la section elle-même. Comme par ailleurs le plan projectif et la quadrique sont des surfaces convexes, l'hypothèse de généricité de la structure presque-complexe du Théorème 1.1 est satisfaite (voir les Théorèmes 3.10 et 3.16 pour un résultat plus général). Le Théorème 1.1 s'applique donc et fournit le résultat. \square

Théorème 1.4 *Soit (X, ω, c_X) une variété symplectique réelle fermée de dimension quatre dont le lieu réel possède un tore L et soit $d \in H_2(X; \mathbb{Z})$ une classe d'homologie satisfaisant $(c_X)_*d = -d$. Les bornes inférieures (1) sont optimales lorsque $r = 1$, atteintes par les structures presque-complexes générales ayant un long cou au voisinage de L . Lorsque le lieu réel est connexe -réduit au tore L -, l'invariant $\chi_1^d(L)$ est en outre positif. Dans le cas général, le signe de l'invariant $\chi_1^d(L)$ est déterminé par l'inégalité $(-1)^{\frac{1}{2}(d^2 - c_1(X)d + 2)} \chi_1^d(L) \geq 0$ lorsque le lieu réel des courbes rationnelles ne s'annule pas dans $H_1(L; \mathbb{Z}/2\mathbb{Z})$, tandis qu'il est déterminé par l'inégalité $(-1)^{\frac{1}{2}(d^2 - c_1(X)d + 2)} \chi_1^d(L) \leq 0$ lorsque ce dernier s'annule.*

Remarque 1.5 Dans le cas particulier de la quadrique hyperboloïde, la positivité de $\chi_1^d(L)$ a déjà été observée dans [9] par d'autres méthodes.

1.1.2 Stratégie générale

On allonge le cou d'une structure presque-complexe générique jusqu'à briser la variété (X, ω, c_X) en deux, le fibré cotangent à L d'une part et le complémentaire $X \setminus L$ de l'autre. Chacune de ces deux parties se retrouve munie d'une structure presque-complexe, notée J_L et J_X respectivement, qui rendent respectivement c_L et c_X antiholomorphes, où $c_L : (q, p) \in T^*L \mapsto (q, -p) \in T^*L$. De plus, en dehors d'un compact, ces structures sont cylindriques sur une structure CR de la variété de contact (S^*L, λ) . Nous avons ici noté S^*L le fibré unitaire cotangent de L pour une métrique à courbure constante, de sorte que les orbites périodiques du flot du champ de vecteurs de Reeb R_λ associé à la forme de Liouville λ , c'est-à-dire du flot géodésique, viennent en familles. Rappelons qu'une fois identifié le complémentaire d'un compact de T^*L ou $X \setminus L$ avec une partie de la symplectisation $S^*L \times \mathbb{R}$ de S^*L , la structure presque complexe J_L ou J_X est définie en dehors de ce compact par la structure CR et la relation $J\partial/\partial t = R_\lambda$. Nous réalisons cette scission de sorte que les r_X paires de points complexes conjuguées que l'on s'est données se retrouvent dans $X \setminus L$. Le théorème de compacité de théorie symplectique des champs [2] permet de comprendre le devenir des courbes rationnelles réelles homologues à d et qui passent par \underline{x} . Ces courbes se brisent en des courbes à deux étages, J_L -holomorphes (resp. J_X -holomorphes) pour celles habitant l'étage T^*L (resp. $X \setminus L$), et asymptotes à des orbites périodiques de R_λ , la période pouvant être multiple de la période fondamentale. La réunion de ce nombre fini de composantes est invariante par l'involution c_X , de sorte que ces composantes sont organisées en paires de composantes complexes conjuguées de T^*L ou $X \setminus L$ et d'une composante de T^*L laissée invariante par c_L . Chaque

courbe à deux étages limite C peut donc être codée par un arbre A_C ayant une racine s_0 et ses arêtes équipées de multiplicités entières strictement positives. Chaque sommet de cet arbre représente une composante du quotient de la courbe limite par l'action de c_X , composante qui se trouve dans l'étage T^*L si ce sommet est à distance paire de s_0 et dans l'étage $X \setminus L$ sinon. Le sommet s_0 quant à lui représente l'unique composante laissée invariante par l'involution c_L de T^*L . Le quotient de cette composante est une hémisphère pointée à bord dans L . Chaque arête adjacente à un sommet donné représente une asymptote de la composante correspondante à ce sommet et la multiplicité de l'arête n'est autre que la multiplicité de l'orbite de Reeb limite correspondante. Par exemple, l'arbre représenté par la figure 1.1.2 représente une courbe rationnelle réelle à deux étages et neuf composantes. La composante racine est une sphère réelle dans T^*L ayant deux paires de pointes complexes conjuguées asymptotes à deux paires d'orbites de Reeb, l'une de multiplicité deux, l'autre de multiplicité trois. L'étage $X \setminus L$ contient une paire de plans J_X -holomorphes complexes conjugués asymptotes à la paire d'orbites de Reeb de multiplicité deux précédente, cette paire est codée par la feuille de l'arbre adjacente à l'arête de multiplicité deux. Cet étage $X \setminus L$ contient également une paire de sphères J_X -holomorphes complexes conjugués ayant trois pointes dont deux sont asymptotes à des orbites de Reeb simples et la troisième asymptote à la paire d'orbites de Reeb de multiplicité trois définie plus haut, cette paire de sphères est codée par le sommet trivalent. Enfin, l'étage T^*L contient également deux paires de plans J_L -holomorphes complexes conjugués asymptotes aux paires d'orbites de Reeb simples précédentes, ces plans sont codés par les deux feuilles restantes de l'arbre. L'arbre A_C vient de plus avec une fonction

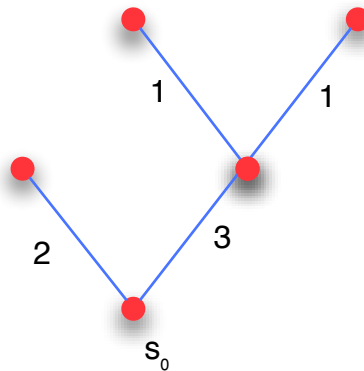


FIG. 1 – Exemple d'arbre A_C

qui associe à chaque sommet à distance impaire de s_0 les classes d'homologies relatives de la paire de courbes correspondantes ainsi que les paires de points complexes conjugués de \underline{x} que ces courbes contiennent.

1.1.3 Démonstration des Théorèmes 1.1 et 1.4

Cette stratégie générale étant posée, remarquons que dans chacun des cas qui concernent le Théorème 1.1, S^*L est un fibré en cercles. Par suite, le fibré normal de chaque courbe C_s associé à un sommet s de l'arbre A_C est canoniquement trivialisé le long des orbites de

Reeb asymptotes par le flot de Reeb. Notons μ_s le double de l'obstruction à étendre cette trivialisation sur C_s tout entier. La dimension de l'espace des modules dans lequel habite C_s s'exprime en fonction de cet indice de Maslov μ_s , voir la Proposition 1.12 de notre formulaire donné au paragraphe 1.3. Cette dimension vaut, pour peu que C_s soit une courbe simple, c'est-à-dire ne soit pas un revêtement ramifié non-trivial d'une autre, $\mu_s + 2$ lorsque $s \neq s_0$ et $\frac{1}{2}\mu_s + 1$ lorsque $s = s_0$ puisque la courbe C_s est alors contrainte d'être préservée par l'involution c_X ce qui a pour effet de diviser la dimension par deux. Notons pour chaque sommet s de l'arbre, sa valence par v_s et la somme des multiplicités des arêtes adjacentes par k_s . L'indice de Maslov μ_s s'exprime pour les sommets à distance paire de s_0 en fonction de v_s et k_s , voir la Proposition 1.13 de notre formulaire donné au paragraphe 1.3.

Supposons pour commencer que L est une sphère et notons S_1 (resp. S_2) l'ensemble des sommets à distance impaire (resp. paire) de s_0 . Lorsque $s \in S_2 \setminus \{s_0\}$, $\mu_s = 2k_s + 2v_s - 4$ tandis que l'indice de Maslov de l'hémisphère associée à s_0 vaut $\mu_{s_0} = 2k_{s_0} + 2v_{s_0} - 2$. Par suite,

$$\sum_{s \in S_2} \mu_s = 2k + 2v - 4\#S_2 + 2,$$

où v désigne le nombre total d'arêtes de l'arbre et k la somme de leurs multiplicités. Si l'on suppose que toutes les courbes de l'étage $X \setminus L$ sont simples, la généricité de J_X impose la positivité de toutes les dimensions des espaces de modules intervenant, soit $\mu_s + 2 \geq 0$ pour tout $s \in S_1$. Lorsque la courbe C_s contient f_s points de notre configuration, cette condition d'incidence impose l'inégalité plus fine $\mu_s + 2 \geq 2f_s$. On déduit au total la minoration

$$\sum_{s \in S_1} \mu_s \geq -2\#S_1 + 2r_X.$$

Le nombre d'arêtes d'un arbre diffère du nombre de sommets par un, soit $v = \#S_1 + \#S_2 - 1$, de sorte que l'indice de Maslov total de la courbe C satisfait $\mu \geq 2k - 2\#S_2 + 2r_X \geq 2r_X$. Or cet indice de Maslov total est par ailleurs majoré par $c_1(X)d - 2$, le degré du fibré normal d'une courbe rationnelle immergée homologue à d . Par hypothèse, ce degré vaut ici $2r_X$ puisque l'orientabilité de L impose l'imparité de r . Les minoration précédentes sont par conséquent des égalités, de sorte que $k = \#S_2$. En particulier, toutes les orbites de Reeb intervenant sont simplement revêtues et tous les sommets de S_2 sont des feuilles. La courbe réelle codée par s_0 n'est autre qu'un cylindre réel sur une orbite de Reeb simple. Un tel cylindre est nécessairement plongé, voir le Lemme 1.14 de notre formulaire. Le résultat en découle; peu avant la brisure de la variété, toutes les courbes rationnelles réelles ont leurs parties réelles plongées, de sorte que les points doubles réels éventuels de ces courbes sont tous isolés. Ce nombre de points doubles est de même parité que le genre lisse de la courbe.

Il s'agit à présent d'aboutir à la même conclusion sans supposer que les courbes C_s soient simples. L'indice de Maslov μ^l d'un revêtement de degré l d'une courbe simple d'indice μ s'écrit $\mu^l = l\mu + 2R$ où R est l'indice de ramification. Cet indice de Maslov peut être strictement plus petit que μ uniquement lorsque μ est négatif, donc égal à -2 et encore faut-il que la courbe revêtue ne soit pas plane. Cela ne concerne donc ni les courbes de l'étage T^*L , ni les courbes de $X \setminus L$ soumises à des conditions d'incidence. Notons s_1, \dots, s_j les sommets de A_C correspondant à ces dernières et calculons la contribution à l'indice de Maslov total de chaque composante connexe de l'arbre privé des sommets s_1, \dots, s_j . Pour ce faire, notons S'_1 (resp. S'_2) l'ensemble des sommets à distance impaire (resp. paire) de s_0 d'une telle composante connexe de $A_C \setminus \{s_1, \dots, s_j\}$. Comme précédemment, $\sum_{s \in S'_2} \mu_s = 2k + 2v - 4\#S_2 + 2\delta$, où δ

vaut un si la composante en question contient s_0 et zéro sinon, tandis que

$$\begin{aligned}
\sum_{s \in S'_1} \mu_s &= \sum_{s \in S'_1} (l_s \tilde{\mu}_s + 2R_s) \text{ où } l_s \text{ désigne le degré du revêtement, } R_s \text{ l'indice de ramification} \\
&\quad \text{et } \tilde{\mu}_s \text{ l'indice de Maslov de la courbe simple sous-jacente} \\
&\geq -2 \sum_{s \in S'_1} l_s + 2 \sum_{s \in S'_1} (l_s \tilde{\chi}_s - \chi_s) \text{ où } \chi \text{ désigne la caractéristique d'Euler,} \\
&\geq 2 \sum_{s \in S'_1} (l_s - l_s \tilde{v}_s + v_s) - 4\#S'_1 \text{ où } v_s \text{ désigne le nombre de pointes} \tag{2} \\
&\geq 2 \sum_{s \in S'_1} (l_s - k_s + v_s) - 4\#S'_1. \tag{3}
\end{aligned}$$

Après sommation, on déduit $\sum_{s \in S'_1 \cup S'_2} \mu_s \geq 2 \sum_{s \in S'_1} l_s + 2k' + 2v' - 4 + 2\delta$, où v' et k' désignent respectivement le nombre d'arêtes attachées à s_1, \dots, s_j et leur multiplicité totale. Les minoration $\sum_{s \in S'_1 \cup S'_2} \mu_s \geq 2k'$ si δ vaut un et $\sum_{s \in S'_1 \cup S'_2} \mu_s \geq 2(k' - 1)$ sinon en résultent. La contribution totale à l'indice de Maslov des sommets autres que s_1, \dots, s_j se trouve donc minorée par $2j$. La contribution des sommets s_1, \dots, s_j est quant à elle minorée par $2r_X - 2j$, de sorte qu'on aboutit à nouveau à la minoration $\mu \geq 2r_X$. On conclut donc comme précédemment.

Supposons à présent que L est un plan projectif réel. D'après la Proposition 1.13 de notre formulaire donné au paragraphe 1.3, l'indice de Maslov d'un sommet $s \in S_2 \setminus \{s_0\}$ vaut $\mu_s = k_s + 2v_s - 4$ tandis que l'indice de Maslov de l'hémisphère associée à s_0 vaut $\mu_{s_0} = k_{s_0} + 2v_{s_0} - 2$ de sorte que $\sum_{s \in S_2} \mu_s = k + 2v - 4\#S_2 + 2$. Les hypothèses faites sur la variété garantissent l'absence de courbes simples d'indices de Maslov strictement négatifs autres que des plans dans l'étage $X \setminus L$. En effet, cet étage est isomorphe au fibré en droites complexes de degré quatre sur la conique imaginaire pure éclaté en six points complexes conjugués au maximum. La classe d'homologie relative d'une courbe dans cet espace s'écrit $ne + kf - \sum_i \alpha_i E_i$, où e est la section nulle du fibré, f une fibre et E_i les éventuels diviseurs exceptionnels. L'irréductibilité de la courbe C_s impose les inégalités $\alpha_i \leq n$ dès que $n \geq 1$, ce que l'on obtient comme conséquence de la positivité d'intersection avec les courbes exceptionnelles J_X -holomorphes E_i et $f - E_i$. L'indice de Maslov d'une telle courbe vaut $2(6n + 2k - \sum_i \alpha_i - 2)$, il est positif dès que k, n sont non nuls. Pour chaque sommet $s \in S_1$ l'inégalité $\mu_s + 2 \geq 0$ s'en déduit. Lorsque la courbe C_s contient f_s points de notre configuration, cette condition d'incidence impose l'inégalité plus fine $\mu_s + 2 \geq 2f_s$. De là la minoration $\sum_{s \in S_1} \mu_s \geq -2\#S_1 + 2r_X$ et finalement après sommation l'estimation de l'indice de Maslov total $\mu \geq k - 2\#S_2 + 2r_X$. Il reste à remarquer que pour chaque $s \in S_2 \setminus \{s_0\}$, l'entier k_s doit être pair puisque le noyau du morphisme $H_1(S^*L; \mathbb{Z}) \rightarrow H_1(L; \mathbb{Z})$ est engendré par une orbite de Reeb double. L'inégalité précédente se réécrit donc à présent $\mu \geq 2r_X$ si les parties réelles des courbes rationnelles que l'on considère sont non nulles dans $H_1(L; \mathbb{Z})$ et $\mu \geq 2r_X - 1$ sinon. Or cet indice de Maslov est par ailleurs majoré par le degré $c_1(X)d - 2$ du fibré normal à une courbe rationnelle immergée homologue à d , degré qui par hypothèse vaut ici $2r_X + r - 1$. Ainsi, toutes les minoration précédentes sont des égalités, de sorte que les sommets à distances paires de s_0 sont soit des cylindres sur des orbites simples, soit des plans sur des orbites de Reeb doubles. Le sommet s_0 quant à lui code un cylindre réel sur une orbite simple lorsque r est nul, et soit un cylindre réel sur une orbite double, soit une sphère réelle ayant deux paires de pointes complexes conjuguées asymptotes à des orbites simples lorsque r vaut un. Dans tous ces cas, une telle

courbe est plongée, de par le Lemme 1.14. On conclut comme précédemment, ce qui achève la démonstration du Théorème 1.1.

Supposons enfin que L soit un tore et munissons-le d'une métrique plate de sorte que son fibré unitaire cotangent (S^*L, λ) soit un tore standard de dimension trois. Le flot de Reeb fournit à nouveau une trivialisatation canonique du fibré normal aux courbes C_s le long de leurs orbites de Reeb asymptotes. L'obstruction μ_s à étendre cette trivialisatation sur C_s tout entier vaut cette fois-ci $2v_s - 4$ si $s \neq s_0$ est à distance paire de s_0 et $2v_s - 2$ si $s = s_0$, voir la Proposition 1.13 de notre formulaire donné au paragraphe 1.3. Si s est au contraire à distance impaire de s_0 , la dimension de l'espace des modules dans lequel habite C_s s'écrit $\mu_s + 2 - v_s$, d'après la Proposition 1.12. Contrairement aux cas précédents, la passage à un revêtement ramifié ne peut faire qu'augmenter cette dimension. On déduit donc de la parité de μ_s l'inégalité $\mu_s \geq 0$, inégalité stricte lorsque $v_s > 2$. Si la courbe est contrainte de passer par f_s points de notre configuration, cette inégalité se trouve renforcée en $\mu_s \geq 2f_s$. En sommant les contributions de tous les sommets de l'arbre, on s'aperçoit donc que l'indice de Maslov total μ de la courbe est minoré par $2r_X$. Comme cet indice de Maslov est par ailleurs majoré par $c_1(X)d - 2$ et comme par hypothèse $r = 1$, la minoration précédente est une égalité. Il en est par suite de même pour toutes les minorations faites, de sorte que toutes les composantes de l'étage T^*L sont des cylindres. Les cylindres autres que celui associé à s_0 sont disjoints de L pour un choix générique de J_X . Le cylindre réel associé à s_0 est un revêtement d'un cylindre plongé sur une orbite de Reeb simple. En effet, quitte à passer à un revêtement du fibré cotangent à L , on peut supposer le cylindre asymptote à une orbite simple. Un tel cylindre est, une fois l'orbite fixée, unique et plongé, ce qui est immédiat pour la structure complexe standard de T^*L et est une propriété invariante par déformation de la structure presque-complexe. On en déduit que peu avant la brisure de la variété, toutes les courbes rationnelles réelles que l'on considère possédaient un nombre de points doubles réels non-isolés pair si le degré du revêtement est impair et impair sinon. En effet, la perturbation du revêtement k -uple d'une courbe simple du tore produit $k - 1$ points d'auto-intersection modulo deux. Le nombre de points doubles réels isolés de ces courbes rationnelles se trouve donc être de la même parité que le genre lisse de la courbe lorsque le lieu réel des courbes rationnelles est non-nul dans $H_1(L; \mathbb{Z}/2\mathbb{Z})$ et de la parité opposée lorsque celui-ci s'annule. Le Théorème 1.4 est démontré. \square

1.2 Minimisation du nombre de membranes J -holomorphes

Soit C une membrane J -holomorphe à bord dans une sous-variété lagrangienne L d'une variété symplectique fermée (X, ω) . Notons χ la caractéristique d'Euler de cette membrane, $d \in H_2(X, L; \mathbb{Z})$ sa classe d'homologie relative et $\mu_{TX} \in H^2(X, L; \mathbb{Z})$ la classe de Maslov de la paire (X, L) . La dimension attendue de l'espace des déformations de C s'écrit $\langle \mu_{TX}, d \rangle + (n - 3)\chi$. Cette dimension chute lorsque l'on impose à C des contraintes supplémentaires. Si l'on impose par exemple à cette membrane de rencontrer p cycles de codimensions $2 + q_1, \dots, 2 + q_p$, cette dimension attendue chute de la somme $q = q_1 + \dots + q_p$. Deux problèmes généraux sous-tendent nos résultats. Il s'agit d'une part de compter le nombre de membranes J -holomorphes homologues à d soumises à de telles conditions d'incidence de sorte que ce comptage ne dépende pas de J et ne dépende des conditions d'incidence qu'à homologie près. Il s'agit d'autre part de minimiser ce nombre de membranes. Si nous ne pouvons répondre au premier problème dans ce degré de généralité, il nous est par contre parfois possible de répondre au second sans même supposer l'égalité $q = \langle \mu_{TX}, d \rangle + (n - 3)\chi$, lorsque le minimum en question

est nul. Le présent paragraphe est consacré aux résultats que l'on a pu obtenir dans cette direction. Ici encore le minimum est atteint en allongeant le cou d'une structure presque complexe générale.

1.2.1 En dimension supérieure

Théorème 1.6 *Soit L une sphère lagrangienne dans une variété symplectique fermée (X, ω) satisfaisant $c_1(X) = \lambda\omega$, $\lambda \leq 0$ et soit $E > 0$. Supposons la dimension de X supérieure à cinq. Pour toute structure presque-complexe J générale ayant un cou suffisamment long au voisinage de L , cette variété ne possède ni membrane J -holomorphe reposant sur L ni courbe J -holomorphe rencontrant L qui soit d'énergie inférieure à E . Ce résultat reste valable en dimension quatre pour les courbes ou membranes de genre nul.*

Rappelons que l'énergie d'une courbe C est par définition l'intégrale de la forme ω sur cette courbe. Les variétés projectives à fibré canonique nul ou ample, par exemple les intersections complètes de multidegrés (d_1, \dots, d_k) de l'espace projectif de dimension N dès lors que $\sum_{i=1}^k d_i \geq N + 1$, satisfont les hypothèses du Théorème 1.6. Remarquons qu'une modification de ce dernier s'applique également aux variétés dont le fibré canonique est le produit d'un fibré ample et d'un fibré porté par un diviseur effectif disjoint de L . Le Théorème 1.6 permet de définir l'homologie de Floer de deux sphères lagrangiennes proches dans les variétés symplectiques dont la première classe de Chern s'annule, j'espère développer ce résultat prochainement.

Théorème 1.7 *Soit L une sphère lagrangienne dans une variété symplectique fermée semipositive (X, ω) de dimension $2n \geq 6$ et soit $d \in H_2(X, L; \mathbb{Z})$. Écrivons $\langle \mu_{TX}, d \rangle + (n - 3)\chi = q + r$ avec $q \in \mathbb{Z}$, $0 \leq r < 2 + (n - 3)\chi$ et $\chi \leq 2$. Lorsque $q \geq 0$, choisissons p cycles de $X \setminus L$ de codimensions $2 + q_1, \dots, 2 + q_p$ de sorte que $q = q_1 + \dots + q_p$. Dès que la structure presque complexe générale J possède un cou suffisamment long au voisinage de L , cette variété ne contient aucune membrane J -holomorphe homologue à d , de caractéristique d'Euler χ qui rencontre ces p cycles et repose sur L . Ce résultat reste valable pour des membranes de genre nul lorsque $n = 2$.*

Exemple : la quadrique ellipsoïde.

Soit X la quadrique ellipsoïde de dimension complexe $n \geq 3$ et H une section hyperplane disjointe de L . Le groupe $H_2(X, L; \mathbb{Z})$ est monogène, engendré par la classe d_0 satisfaisant $\langle H, d_0 \rangle = +1$. La première classe de Chern de X vaut nH , d'où l'on déduit le calcul $\langle \mu_{TX}, ld_0 \rangle = 2ln$ quel que soit l'entier l . Écrivons $l = (n - 1)a + b$, le Théorème 1.7 s'applique par exemple lorsque $n + 1 \leq 2b < 2n$, les membranes sont des disques et lorsque toutes les conditions d'incidence sont ponctuelles.

Théorème 1.8 *Soit (X, c_X) une variété algébrique réelle convexe de dimension trois dont le lieu réel possède une sphère L . Supposons l'existence d'une classe d'homologie $d \in H_2(X; \mathbb{Z})$ satisfaisant $c_1(X)d = 2 \pmod{4}$. L'invariant $\chi_1^d(L)$ est alors négatif et les bornes inférieures (1) sont optimales. Dans le cas de l'ellipsoïde, ces bornes sont atteintes pour la structure complexe algébrique lorsque les conditions d'incidence non réelles sont choisies suffisamment proches d'une section hyperplane réelle disjointe de L .*

Il se peut que l'ellipsoïde de dimension trois soit en fait le seul exemple de variété satisfaisant les hypothèses du Théorème 1.8. L'invariant $\chi_1^d(L)$ qui apparaît dans ce théorème a été

construit dans [22]. Remarquons qu'en reprenant les notations du Théorème 1.7, ce Théorème 1.8 traite du cas $r = n - 1$ et montre ainsi en un sens l'optimalité des hypothèses faites dans ce Théorème 1.7. Nous montrerons en effet dans la troisième partie de cet article la non-trivialité de l'invariant $\chi_1^d(L)$ pour l'ellipsoïde de dimension trois et calculerons ce dernier, voir le §3.4.

Démonstration des Théorèmes 1.6, 1.7 et 1.8 :

Nous suivons la stratégie générale énoncée au paragraphe 1.1.2 en équipant la sphère lagrangienne d'une métrique à courbure constante. Les éventuelles membranes qui survivraient à l'allongement du cou de J jusqu'à la brisure de la variété seraient cette fois-ci codés par des graphes A_C ayant $b + 1$ sommets marqués s_0, \dots, s_b correspondant aux composantes ayant un bord dans L . Les sommets à distances paires de s_0, \dots, s_b codent à nouveau les composantes de l'étage T^*L et les sommets à distances impaires les composantes de l'étage $X \setminus L$. Le flot de Reeb trivialisent le fibré normal de chaque composante C_s associée au sommet s d'un graphe A_C le long de ses orbites de Reeb limites. Notons μ_s le double de l'obstruction à étendre cette trivialisent sur C_s toute entière. Notons également, pour chaque sommet s du graphe, sa valence par v_s , la somme des multiplicités des arêtes adjacentes par k_s et la caractéristique d'Euler de la courbe qu'il code par χ_s . L'indice de Maslov des composantes codées par les sommets à distances paires de s_0, \dots, s_b , c'est-à-dire des courbes C_s de l'étage T^*L , s'exprime d'après la Proposition 1.13 de notre formulaire par la relation $\mu_s = 2(n - 1)k_s - 2\chi_s$. Pour calculer la contribution totale des sommets à distances impaires de s_0 , il faut tenir compte du fait que certaines des composantes associées peuvent revêtir des courbes simples. Notons pour chacun de ces sommets l_s le degré du revêtement, $\tilde{\mu}_s$ l'indice de Maslov de la courbe simple sous-jacente et $\tilde{\chi}_s$ sa caractéristique d'Euler. D'après la Proposition 1.12 de notre formulaire, la dimension de l'espace des modules dans lequel habite cette courbe simple vaut $\tilde{\mu}_s + (n - 1)(\tilde{\chi}_s + \tilde{v}_s)$. La généricité de la structure presque complexe assure donc la minoration $\tilde{\mu}_s \geq -(n - 1)(\tilde{\chi}_s + \tilde{v}_s)$. Les courbes simples sous-jacentes étant soumises à nos p conditions d'incidence, cette dernière minoration peut après sommation être améliorée de q . Par conséquent,

$$\begin{aligned} \sum_{s \in S_1} \mu_s &= \sum_{s \in S_1} (l_s(\tilde{\mu}_s + 2\tilde{\chi}_s) - 2\chi_s) \\ &\geq q - (n - 3) \sum_{s \in S_1} l_s(\tilde{\chi}_s + \tilde{v}_s) - 2 \sum_{s \in S_1} (k_s + \chi_s) \quad \text{puisque } l_s \tilde{v}_s \leq k_s. \end{aligned}$$

Nous en déduisons

$$2\chi + \sum_{s \in S_1 \cup S_2} \mu_s \geq q + 2(n - 2)k - (n - 3) \sum_{s \in S_1} l_s(\tilde{\chi}_s + \tilde{v}_s),$$

où $k = \sum_{s \in S_1} k_s$. Lorsque $n \geq 3$, utilisant les majorations $\tilde{\chi}_s + \tilde{v}_s \leq 2$ et $l_s \leq k_s$, nous aboutissons à $\sum_{s \in S_1 \cup S_2} \mu_s + 2\chi \geq q + 2$. Lorsque $n = 2$, nos hypothèses imposent $\tilde{\chi}_s + \tilde{v}_s = 2$ de sorte qu'à nouveau $\sum_{s \in S_1 \cup S_2} \mu_s + 2\chi \geq q + 2$. Le Théorème 1.7 suppose la variété semipositive, les éventuelles composantes compactes de l'étage $X \setminus L$ ont donc un indice de Maslov positif. Par conséquent, l'indice de Maslov total satisfait la majoration $2\chi + \sum_{s \in S_1 \cup S_2} \mu_s \leq \langle \mu_{TX}, d \rangle \leq q + r - (n - 3)\chi < q + 2$. Ces minoration et majoration étant incompatibles, aucune membrane ne peut survivre jusqu'à la brisure de la variété. Le Théorème 1.7 est démontré. Dans le cas du Théorème 1.6, $q = 0$ et nous déduisons par recollement des composantes codées par le

graphe A_C une membrane symplectique C de (X, L) d'indice de Maslov $\langle \mu_{TX}, [C] \rangle \geq 2$. Or par hypothèse, $\langle \mu_{TX}, [C] \rangle = 2\langle c_1(X), c \rangle = 2\lambda\langle \omega, c \rangle \leq 0$, où $c \in H_2(X; \mathbb{Z})$ relève $[C] \in H_2(X, L; \mathbb{Z})$. Cette impossibilité démontre le Théorème 1.6.

Le Théorème 1.8 correspond au cas où $r = n - 1$. Dans, ce cas, les minoration et majoration précédentes coïncident, de sorte que toutes les inégalités sont des égalités. En particulier, $k = 1$ de sorte que chaque graphe A_C se trouve réduit à deux sommets reliés par une arête simple. La courbe réelle codée par s_0 est un cylindre sur une orbite de Reeb simple. L'état spinoriel de ces courbes se calcule comme suit. En perturbant le point réel dans toutes les directions dans L , on s'aperçoit que toutes ces courbes ont le même état spinoriel qu'une conique obtenue comme section plane réelle de la quadrique ellipsoïde réelle. Ce dernier vaut -1 comme on le vérifie en déformant l'équateur vers un parallèle proche d'un pôle de L . \square

1.2.2 En dimension quatre

Nous noterons $\mathcal{M}_{g,b}$ l'espace des modules des structures complexes de la surface compacte connexe orienté de genre g ayant b composantes de bord.

Proposition 1.9 *Soit L une sphère lagrangienne dans une variété symplectique fermée de dimension quatre (X, ω) . On suppose que cette dernière ne possède pas de sphère symplectique S satisfaisant $\langle c_1(X), [S] \rangle > 0$. Soit $(d, g, b) \in H_2(X, L; \mathbb{Z}) \times \mathbb{N} \times \mathbb{N}^*$ et K un compact de $\mathcal{M}_{g,b}$. Alors, pour toute structure presque-complexe générale ayant un cou suffisamment long au voisinage de L , la variété ne possède pas de membrane J -holomorphe homologue à d à bord dans L et conforme à un élément de K .*

Démonstration de la Proposition 1.9 :

On poursuit la stratégie générale décrite au paragraphe 1.1.2 précédent en équipant L d'une métrique à courbure constante et en allongeant le cou d'une structure presque complexe générique jusqu'à briser la variété en deux morceaux. D'après le théorème de compacité de théorie symplectique des champs [2], les membranes que l'on considère se brisent en courbes à deux étages qui sont cette fois-ci codées par des graphes A_C ayant b sommets marqués s_1, \dots, s_b correspondant aux b composantes de bord. Les sommets à distances paires de s_1, \dots, s_b codent à nouveau les composantes de l'étage T^*L et les sommets à distances impaires les composantes de l'étage $X \setminus L$. Par hypothèse, l'étage $X \setminus L$ ne possède pas de courbe J -holomorphe rationnelle asymptote à des orbites de Reeb du fibré unitaire cotangent S^*L . En effet, une telle courbe J -holomorphe rationnelle simple C aurait d'après la Proposition 1.12 un indice de Maslov $\mu \geq -2$. Notons $v \geq 1$ le nombre de pointes asymptotes à des orbites de Reeb de S^*L et $\chi(C)$ la caractéristique d'Euler de C . En recollant à C en chacune de ses pointes un plan J -holomorphe de T^*L , on obtient une sphère symplectique S de X . Le fibré tangent à X est trivialisé le long des pointes de C par le flot de Reeb. D'après ce qui précède, le double de l'obstruction à étendre cette trivialisatation le long de C vaut $\mu + 2\chi(C)$ alors qu'elle vaut deux le long de chaque plan de T^*L d'après la Proposition 1.13. Finalement, l'indice de Maslov de S vaudrait $\mu + 4 \geq 2$, ce qui est exclu par les hypothèses. Remarquons à présent que chaque composante des courbes à deux étages est asymptote à une réunion de cylindres J -holomorphes sur les orbites de Reeb limites. Ces cylindres ont un module infini. On en déduit que peu avant la brisure de la variété X , lorsque J possède un cou extrêmement long, les membranes J -holomorphes possèdent également des anneaux de grands modules dont les âmes sont homotopes aux orbites de Reeb codées par les arêtes de l'arbre A_C . Au moins un de ces anneaux ne borde pas de disque, lequel proviendrait nécessairement d'un plan de

T^*L , puisque les membranes ont un bord dans L . Par suite, lorsque le cou de la structure presque-complexe J est suffisamment allongé, les membranes J -holomorphes qui survivent à cet allongement ont une structure conforme n'appartenant pas au compact K . \square

Proposition 1.10 *Soit L une surface lagrangienne orientable hyperbolique dans une variété symplectique fermée de dimension quatre (X, ω) et soit $d \in H_2(X, L; \mathbb{Z})$. On note $N_d^g(\underline{x}, J)$ le nombre de courbes J -holomorphes homologues à d à bords dans L , de topologie et de structure conforme données et qui passent par une configuration \underline{x} de points distincts de (X, ω) de cardinal adéquat, pour $J \in \mathcal{J}_\omega$ générique. Ce nombre $N_d^g(\underline{x}, J)$ s'annule pour toute structure presque-complexe générale ayant un cou suffisamment long au voisinage de L .*

Démonstration de la Proposition 1.10 :

On équipe à nouveau L d'une métrique à courbure constante et on allonge le cou d'une structure presque complexe générique au voisinage de L jusqu'à briser la variété en deux, ceci de manière à ce que les points de la configuration \underline{x} disjoints de L se retrouvent dans l'étage $X \setminus L$. Notons $b + 1$ le nombre de composantes connexes du bord des courbes que l'on considère. D'après le théorème de compacité de théorie symplectique des champs [2], ces dernières se brisent en courbes à deux étages qui sont cette fois-ci codées par des graphes A_C ayant $b + 1$ sommets marqués s_0, \dots, s_b correspondant aux $b + 1$ composantes de bord. Les sommets à distances paires de s_0, \dots, s_b codent à nouveau les composantes de l'étage T^*L et les sommets à distances impaires les composantes de l'étage $X \setminus L$. Les orbites de Reeb du fibré unitaire cotangent S^*L sont cette fois-ci non-dégénérées, on fixe la trivialisation standard de S^*L le long de ces orbites de Reeb, de sorte que leur indice de Conley-Zehnder soit nul, voir la Proposition 1.7.3 de [4]. La dimension de l'espace des modules d'une composante simple C_s de l'étage $X \setminus L$ est donnée par le Théorème 2.8 de [7], elle vaut $\mu_s^{CZ} + \chi_s$ où μ_s^{CZ} est l'indice de Conley-Zehnder total de la composante et χ_s sa caractéristique d'Euler. Un revêtement ramifié d'une courbe simple ne peut en particulier qu'augmenter cette dimension puisque les indices de Conley-Zehnder des orbites de Reeb ont ici la propriété de s'additionner sous de tels revêtements. Par suite, l'inégalité $\mu_s^{CZ} + \chi_s \geq 2n_s$ (resp. $\mu_s^{CZ} + \chi_s \geq n_s$) est satisfaite pour chaque sommet s du graphe A_C à distance impaire (resp. paire) de s_0, \dots, s_b , si $n_s \geq 0$ désigne le nombre de points de la configuration \underline{x} par lesquels passe la composante codée par s . En sommant ces inégalités sur tous les sommets du graphe A_C , on déduit que la dimension totale attendue de la courbe C se trouve minorée par $r + 2r_X$ où r est le cardinal de $\underline{x} \cap L$ et r_X le cardinal de $\underline{x} \setminus L$. Comme par hypothèse cette dimension vaut $r + 2r_X$, les inégalités précédentes sont des égalités. Il suit en particulier que toutes les courbes de l'étage $X \setminus L$ ont une dimension attendue paire; elles ne peuvent par conséquent être planes. Comme par ailleurs L ne possède pas de géodésique contractile, on vient de montrer que le graphe A_C ne possède pas de feuille exception faite éventuellement des sommets s_0, \dots, s_b . Remarquons à présent que chaque composante de la courbe à deux étages est asymptote à une réunion de cylindres J -holomorphes sur les orbites de Reeb limites. Ces cylindres ont un module infini. On en déduit que les courbes comptées par $N_d^g(\underline{x}, J)$, lorsque J possède un cou extrêmement long, possèdent également des anneaux de grands modules dont les âmes sont homotopes aux orbites de Reeb codées par les arêtes de l'arbre A_C . Or les courbes à bords comptées par $N_d^g(\underline{x}, J)$ sont supposées avoir une structure conforme fixée. Tout anneau dont le module est supérieur à une certaine quantité donnée par la structure conforme doit donc être contenu dans un disque. Par suite, lorsqu'on prive une telle courbe de la collection finie d'âmes de nos anneaux de grands modules codés par les arêtes de A_C , elle se trouve disconnectée en plusieurs

composantes dont une au moins est un disque. Ce disque doit correspondre à une feuille du graphe A_C distincte de s_0, \dots, s_b . Nous aboutissons ainsi à une impossibilité qui prouve que l'ensemble des courbes à deux étages sur lequel nous avons fondé notre raisonnement est vide, ce qu'il fallait démontrer. \square

Proposition 1.11 *Soit (X, ω, c_X) une variété symplectique réelle fermée de dimension quatre dont le lieu réel possède un tore lagrangien ou bien une surface hyperbolique lagrangienne L , orientable ou non. On suppose que (X, ω, c_X) ne possède pas de sphère symplectique réelle S satisfaisant $\langle c_1(X), [S] \rangle > 1$ si L est orientable et $\langle c_1(X), [S] \rangle > 0$ sinon. Soit $(d, g, b) \in H_2(X, L; \mathbb{Z}) \times \mathbb{N} \times \mathbb{N}^*$ et K un compact de $\mathcal{M}_{g,b}$. Alors, pour toute structure presque-complexe générale ayant un cou suffisamment long au voisinage de L , la variété ne possède pas de membrane J -holomorphe homologue à d à bord dans L et conforme à un élément de K .*

Démonstration de la Proposition 1.11 :

On équipe à nouveau L d'une métrique à courbure constante et on allonge le cou d'une structure presque complexe générique au voisinage de L jusqu'à briser la variété en deux morceaux. D'après le théorème de compacité de théorie symplectique des champs [2], les membranes J -holomorphes homologues à d , de genre g ayant b composantes de bord dans L qui survivent à cette déformation se brisent en courbes à deux étages codées par des graphes A_C ayant b sommets marqués s_1, \dots, s_b correspondant aux b composantes de bord. Les seules feuilles de ces arbres sont alors ces b sommets s_1, \dots, s_b . En effet, ces feuilles coderaient sinon des plans J -holomorphes asymptotes à des orbites de Reeb du fibré unitaire cotangent S^*L . Ces orbites de Reeb n'étant pas contractiles dans T^*L , les plans J -holomorphes doivent être dans l'étage $X \setminus L$. La réunion d'un tel plan P , de son image par l'involution $c_X(P)$ et d'un cylindre J -holomorphe de T^*L sur l'orbite de Reeb asymptote de P fournit une sphère à deux étages. Cette sphère se recolle en une sphère symplectique S de (X, ω) dont l'indice de Maslov vaut le double de l'obstruction à étendre la trivialisatation canonique de TX le long de l'orbite de Reeb à S tout entier. Lorsque L est orientable, cette obstruction est nulle le long du cylindre de T^*L et supérieure à un le long de P d'après la Proposition 1.12 et le Théorème 2.8 de [7]. On en déduit que l'indice de Maslov de S serait supérieur à quatre, ce qui contredit les hypothèses. De la même manière lorsque L est non-orientable, l'indice de Maslov de S vaut la somme des indices de Conley-Zehnder de P , $c_X(P)$ et du cylindre. Ces derniers sont supérieurs à leur caractéristique d'Euler puisqu'habitent des espaces de modules de dimensions attendues positives, voir le Théorème 2.8 de [7]. Par sommation, l'indice de Maslov de S devrait être supérieur à deux ce qui contredit à nouveau les hypothèses. Les seules feuilles des arbres codant les courbes à deux étages limites étant les b sommets marqués s_1, \dots, s_b , on déduit comme dans la démonstration de la Proposition 1.10 que peu avant la brisure de la variété, les membranes J -holomorphes homologues à d , de genre g ayant b composantes de bord dans L possèdent un anneau de grand module au moins, d'âme voisine d'une orbite de Reeb de S^*L . En particulier, elles n'appartiennent pas au compact K de $\mathcal{M}_{g,b}$, ce qu'il fallait démontrer. \square

1.3 Formulaire

Désignons par L une variété compacte de dimension n homéomorphe à une sphère, un tore ou un espace projectif réel et munissons cette variété d'une métrique à courbure constante. Soit C une courbe pseudo-holomorphe simple immergée d'énergie de Hofer finie dans un remplissage symplectique du fibré unitaire cotangent (S^*L, λ) de L , où λ désigne la restriction

de la forme de Liouville. La caractéristique d'Euler de C vaut $\chi = 2 - 2g - v$ si l'on note g son genre et v le nombre de ses pointes. Le flot de Reeb de (S^*L, λ) trivialise le fibré normal de C au voisinage de ses pointes; nous noterons μ le double de l'obstruction à étendre cette trivialisation sur C toute entière.

L'indice de Maslov μ est explicitement calculé dans la Proposition 1.13 lorsque C est immergée dans le fibré cotangent T^*L . Nous calculons sous cette même hypothèse le nombre de points singuliers de C dans le Lemme 1.14 tandis que la Proposition 1.12 fournit une expression de la dimension de l'espace des déformations de C en fonction des quantités χ et μ . Les trois formules qui résultent de ces calculs se montrant bien utiles, nous leurs consacrons ce paragraphe.

Proposition 1.12 *Soit C une courbe pseudo-holomorphe simple d'énergie de Hofer finie dans un remplissage symplectique de dimension $2n$ du fibré unitaire cotangent d'une sphère, d'un tore ou d'un espace projectif réel à courbure constante L . Nous notons g le genre de C , v^- le nombre de ses pointes négatives, μ son indice de Maslov et $\chi^- = 2 - 2g - v^-$. La dimension de l'espace des déformations de C vaut $\mu + (n-1)(2-2g)$ lorsque L est une sphère ou un espace projectif réel et vaut $\mu + (n-1)\chi^-$ lorsque L est un tore.*

Démonstration :

Ces formules sont des conséquences de la formule d'indices calculée par Frédéric Bourgeois dans sa thèse [1]. La courbe C converge en ses pointes vers des orbites de Reeb qui appartiennent à des espaces de dimension $2(n-1)$ dans le premier cas et $n-1$ dans le second. Ces orbites contribuent donc à hauteur de $2(n-1)v$ dans le premier cas et $(n-1)v$ dans le second à la dimension que l'on calcule. Le reste de la contribution s'interprète comme l'indice de Fredholm de l'opérateur de Cauchy-Riemann associé à C et perturbé par un facteur $\mp \frac{d}{p} Id$ en ses pointes, ce qui le rend non-dégénéré, voir la proposition 5.2 de [1]. Ce dernier est calculé par le Théorème 2.8 de [7] et vaut $\mu^{CZ} + (n-1)\chi$ où μ^{CZ} désigne l'indice de Conley-Zehnder normal total de C . L'indice de Conley-Zehnder normal total se décompose ici en la somme de l'indice de Maslov μ et des indices de Conley-Zehnder des opérateurs de Cauchy-Riemann perturbés en chaque pointe de C et calculés dans la trivialisation que l'on a fixé. Or ces indices de Conley-Zehnder des opérateurs de Cauchy-Riemann perturbés valent par définition $-(n-1)v$ dans le premier cas tandis qu'ils valent 0 dans le second pour des pointes positives et $n-1$ pour des pointes négatives. Ces résultats sont établis dans le paragraphe 9.4 de la thèse [1]. Signalons toutefois une démonstration de ce dernier fait autre que celle proposée par Frédéric Bourgeois. Lorsqu'on allonge la structure complexe de $(\mathbb{C}P^1)^n$ au voisinage de $(\mathbb{R}P^1)^n$ jusqu'à briser la variété en deux morceaux, les fibres réelles de $(\mathbb{C}P^1)^n \rightarrow (\mathbb{C}P^1)^{n-1}$ se brisent en un cylindre sur un orbite simple de T^*L et deux plans complexes conjugués de $(\mathbb{C}P^1)^n \setminus L$. La dimension de l'espace des déformations de chacun de ces morceaux vaut $n-1$ tandis que les indices de Maslov de ces composantes sont tous nuls. Confrontons ce résultat à ce qui précède. La dimension de l'espace des déformations du plan vaut $2(n-1)$ moins l'indice de l'opérateur de Cauchy-Riemann perturbé pour le plan, ce dernier vaut donc effectivement $n-1$. Elle vaut la moitié de $2(n-1)$ moins le double de l'indice de l'opérateur perturbé pour le cylindre, puisque le cylindre possède deux pointes et se voit contraint d'être préservé par l'antipodation dans les fibres de T^*L . On en déduit que l'indice de Conley-Zehnder des pointes positives s'annule. \square

Proposition 1.13 *Soit C une courbe pseudo-holomorphe simple d'énergie de Hofer finie dans le fibré cotangent d'une sphère, d'un tore ou d'un espace projectif réel de dimension n à*

courbure constante L . Notons $\chi = 2 - 2g - v$ la caractéristique d'Euler de C et k la somme sur ses v pointes des multiplicités de ses orbites de Reeb limites. L'indice de Maslov μ de C vaut $2(n-1)k - 2\chi$ lorsque L est une sphère, $(n-1)k - 2\chi$ lorsque L est un espace projectif réel et -2χ lorsque L est un tore.

Démonstration :

Considérons le deux-cycle $C - c_L(C) - \sum_{i=1}^v \text{Cyl}_i$, où c_L est l'antipodation dans les fibres de T^*L et Cyl_i les cylindres sur les orbites de Reeb limites de C . Ce deux-cycle se trouve renversé par c_L de sorte qu'il est homologué à zéro. La première classe de Chern de T^*L s'annule donc une fois évaluée contre ce cycle. Calculons cette dernière comme l'obstruction à trivialisier le fibré tangent en restriction à ce deux-cycle. La contribution de $C - c_L(C)$ vaut $2\chi + \mu$ où χ . La contribution d'un cylindre Cyl_i vaut l'opposé de son demi-indice de Maslov, soit $-k_i$ fois le demi-indice de Maslov du cylindre sur l'orbite simple sous-jacente si k_i désigne la multiplicité de l'orbite.

Le demi-indice de Maslov d'un cylindre sur une orbite simple dans le cas d'une sphère vaut le degré du fibré normal d'une section plane de la quadrique ellipsoïde Q^n puisque cette dernière est obtenue en recollant deux plans de fibrés normaux triviaux de $Q^n \setminus L$ au cylindre en question. Ce dernier vaut donc $2n - 2$, d'où la relation $2\chi + \mu - 2 \sum_{i=1}^v (n-1)k_i = 0$.

Le demi-indice de Maslov d'un cylindre sur une orbite simple dans le cas d'un espace projectif réel vaut le degré du fibré normal d'une droite dans l'espace projectif complexe de dimension n puisque cette dernière est obtenue en recollant deux plans de fibrés normaux triviaux de $\mathbb{C}P^n \setminus L$ au cylindre en question. Ce dernier vaut donc $n - 1$, d'où la relation $2\chi + \mu - \sum_{i=1}^v (n-1)k_i = 0$.

Le demi-indice de Maslov d'un cylindre sur une orbite simple dans le cas d'un tore est trivial, d'où la relation $2\chi + \mu = 0$. \square

Lemme 1.14 *Soit C une courbe pseudo-holomorphe d'énergie de Hofer finie immergée dans le fibré cotangent d'une sphère de dimension deux ou d'un plan projectif réel à courbure constante. Supposons que cette courbe soit simple, rationnelle, réelle et n'ayant que des points doubles transverses comme singularités. On note v le nombre de paires de pointes complexes conjuguées de C et k la multiplicité totale des paires d'orbites de Reeb limites en ces pointes. Le nombre de points doubles de C est majoré par $k^2 - 2k + 1$ dans le cas d'une sphère et $\frac{1}{2}(k^2 - 3k + 2)$ dans le cas d'un plan projectif réel.*

Démonstration :

Considérons le deux-cycle $C - \sum_{i=1}^v \text{Cyl}_i$, où Cyl_i , $1 \leq i \leq v$, désignent les cylindres sur les orbites de Reeb limites de C . Ce deux-cycle se trouve renversé par c_L de sorte qu'il est homologué à zéro. Choisissons un cylindre Cyl sur une orbite de Reeb distincte des limites de C . L'indice d'intersection de Cyl avec $C - \sum_{i=1}^v \text{Cyl}_i$ s'annule. Nous en déduisons que l'indice d'intersection de Cyl avec C vaut $2k$ dans le cas de la sphère de dimension deux et k dans celui du plan projectif réel. Perturbons à présent C en une courbe voisine \tilde{C} dont toutes les orbites de Reeb limites sont distinctes de celles de C . L'indice d'intersection de \tilde{C} avec $C - \sum_{i=1}^v \text{Cyl}_i$ s'annule. On déduit de ce qui précède que l'indice d'intersection de \tilde{C} avec C se trouve majoré par $2k^2$ dans le cas de la sphère de dimension deux et k^2 dans celui du plan projectif réel. Cet indice est par ailleurs minoré par deux fois le nombre de points doubles de C auquel s'ajoute la moitié de son indice de Maslov et le nombre de points d'intersection de \tilde{C} avec C qui apparaissent au voisinage des pointes de C . Ces derniers sont au moins au nombre de $k_i - 1$ au voisinage de chaque pointe convergeant vers une orbite de Reeb parcourue k_i

fois, ce qui découle du Théorème 1.5 de [6], soit $2(k - v)$ au total. L'indice de Maslov de C est quant à lui donné par la Proposition 1.13, il vaut $4k + 4v - 4$ dans le cas de la sphère de dimension deux et $2k + 4v - 4$ dans celui du plan projectif réel. Ainsi, l'indice d'intersection de \tilde{C} avec C se trouve minoré par $4k - 2$ (resp. $3k - 2$) plus deux fois le nombre de points doubles de C si L est une sphère (resp. un plan projectif réel). Le résultat en découle. \square

Remarque 1.15 Nous avons établi au cours de la démonstration du Lemme 1.14 la majoration $|\tilde{C} \circ C| \leq 2k^2$ ou k^2 selon que L est une sphère ou un plan projectif réel. Cette majoration nous sera utile au §3.

2 Congruences

2.1 Énoncés des résultats

Étant donnée une classe d'homologie $d \in H_2(X; \mathbb{Z})$ d'une variété symplectique réelle de dimension quatre (X, ω, c_X) , nous noterons $g_d = \frac{1}{2}(d^2 - c_1(X)d + 2)$ le genre lisse de d et $c_d = c_1(X)d - 1$ le degré attendu du polynôme $\chi^d(T)$ défini dans [21].

Théorème 2.1 *Soit (X, ω, c_X) une variété symplectique réelle fermée de dimension quatre dont le lieu réel possède une composante connexe L homéomorphe à une sphère. Soient $d \in H_2(X; \mathbb{Z})$ et $r \in \mathbb{N}$. Lorsque $2r + 1 < c_d$, la puissance $2^{\frac{1}{2}(c_d - 2r - 1)}$ divise $\chi_r^d(L)$.*

Supposons en outre la connexité du lieu réel de la variété (X, ω, c_X) . Alors,

a) Lorsque $2r - 1 < c_d$ et lorsque de plus g_d et $\frac{1}{2}(r + 1)$ sont de même parité, la puissance $2^{\frac{1}{2}(c_d - 2r + 1)}$ divise $\chi_r^d(L)$.

b) Lorsque $2k < r + 1 \leq \frac{1}{2}c_1(X)d + 2$, la puissance $2^{\frac{1}{2}(c_d - 2r + 3)}$ divise $\chi_r^d(L)$, où k désigne le maximum de l'ensemble $\{j \in \mathbb{N} \mid j \not\equiv g_d \pmod{2} \text{ et } j \leq |d' \circ [L]| \text{ où } d' \text{ est effectif satisfaisant } d' - c_X(d') = d\}$.

On entend ici par classe effective une classe d'homologie réalisable par un deux-cycle pseudo-holomorphe sur son deux-squelette.

Exemple :

Le Théorème 2.1 s'applique à l'ellipsoïde de dimension deux lorsque d est un multiple positif, disons $\delta > 0$, d'une section plane réelle. Dans ce cas, $c_d = 4\delta - 1$ et $g_d = \delta^2 - 2\delta + 1 = \delta + 1 \pmod{2}$. Par conséquent, $2^{2\delta - r - 1}$ divise $\chi_r^d(L)$ lorsque $r < 2\delta - 1$, $2^{2\delta - r}$ divise $\chi_r^d(L)$ lorsque de plus $r = 2\delta + 1 \pmod{4}$ et $\chi_{2\delta - 3}^d(L) = 0 \pmod{16}$.

Théorème 2.2 *Soient (X, c_X) la quadrique ellipsoïde de dimension trois et d un multiple positif, disons $\delta > 0$, d'une section hyperplane réelle. Lorsque $6r + 1 \leq 3\delta$, la puissance $2^{\frac{3}{4}(\delta - 2r)}$ divise χ_r^d .*

Théorème 2.3 *Soit (X, ω, c_X) une variété symplectomorphe au plan projectif complexe éclaté en six boules complexes conjuguées au maximum. Soit $d \in H_2(X; \mathbb{Z})$ une classe satisfaisant $c_d = c_1(X)d - 1 \geq 0$ et soient r, r_X des entiers naturels satisfaisant la relation $r + 2r_X = c_d$. Lorsque $r + 1 < r_X$, la puissance $2^{r_X - r - 1}$ divise $\chi_r^d(L)$. Lorsque $r < r_X$ et lorsque de plus $r = \langle d, h \rangle + 1 \pmod{4}$, où h est la classe d'une droite générique du plan, la puissance $2^{r_X - r}$ divise $\chi_r^d(L)$. Lorsqu'enfin la variété est le plan projectif complexe lui-même et $r + 1 < \langle d, h \rangle$, $\chi_r^d(L) = 0 \pmod{64}$.*

Exemple :

Le Théorème 2.3 s'applique au plan projectif complexe où d est un multiple positif, disons $\delta > 0$, d'une droite complexe. Dans ce cas, $8^{\frac{1}{2}(\delta-r-1)}$ divise χ_r^d lorsque $r + 1 < \delta$, $2^{\frac{1}{2}(3\delta-3r-1)}$ divise χ_r^d lorsque de plus $r = \delta + 1 \pmod{4}$ et $\chi_{\delta-3}^d = 0 \pmod{64}$.

2.2 Démonstrations des Théorèmes 2.1, 2.2 et 2.3

On suit la stratégie générale énoncée au paragraphe 1.1.2 en équipant la sphère ou le plan projectif réel lagrangien d'une métrique à courbure constante. Les courbes J -holomorphes rationnelles réelles C comptées par l'invariant $\chi_r^d(L)$ qui survivent à l'allongement du cou de J jusqu'à la brisure de la variété sont codées par des arbres A_C , voir la figure 1.1.2. Ces derniers ont une racine s_0 qui code l'unique composante de la courbe à deux étages limite laissée invariante par l'involution c_X . Le fibré normal de chaque composante simple C_s associé à un sommet s d'un arbre A_C est canoniquement trivialisé le long des orbites de Reeb asymptotes par le flot de Reeb et l'on note μ_s l'obstruction à étendre cette trivialisisation sur C_s tout entier. La dimension de l'espace des modules dans lequel habite C_s s'exprime par la relation $\mu_s + 2(\dim_{\mathbb{C}}X - 1)$ lorsque $s \neq s_0$ et $\frac{1}{2}\mu_s + \dim_{\mathbb{C}}X - 1$ lorsque $s = s_0$ puisque la courbe C_s est alors contrainte d'être préservée par l'involution c_X , voir la Proposition 1.12 de notre formulaire donné au paragraphe 1.3. Notons s_0, \dots, s_j les sommets de A_C qui codent les composantes C_s soumises à des conditions d'incidence et \tilde{A}_C le sous arbre de A_C obtenu en ne retenant que les sommets s_0, \dots, s_j et les arêtes reliant ces sommets entre eux.

Démonstration du Théorème 2.1 :

Nous allons commencer par minorer la contribution de chaque composante connexe de $A_C \setminus \tilde{A}_C$ à l'indice de Maslov total de la courbe C . Lorsqu'une telle composante n'est pas connectée à s_0 , cette contribution est minorée par $2(k' - 1)$ où k' désigne la multiplicité totale des arêtes reliant cette composante connexe à \tilde{A}_C . Ceci résulte de l'inégalité (3) établie au §1.1.3. Lorsqu'une telle composante est connectée à s_0 , la Proposition 1.13 fournit l'estimation $\sum_{s \in S'_2} \mu_s = 2 \sum_{s \in S'_2} (k_s + v_s) - 4\#S'_2$ de la contribution des sommets à distance paire de s_0 , où S'_1 (resp. S'_2) désigne l'ensemble des sommets à distance impaire (resp. paire) de s_0 de cette composante. Cette composante possède un unique sommet s ayant la propriété d'être connecté à s_0 . Notons l^0 le degré du revêtement de la courbe C_s codée par ce sommet et k^0 la multiplicité de l'arête qui le joint à s_0 . La minoration (2) établie au §1.1.3 fournit, en reprenant les notations introduites dans ce paragraphe, $\sum_{s \in S'_1} \mu_s \geq 2 \sum_{s \in S'_1} (l_s - l_s \tilde{v}_s + v_s) - 4\#S'_1$, soit $\sum_{s \in S'_1} \mu_s \geq 2 \sum_{s \in S'_1} (l_s - k_s + v_s) - 4\#S'_1 + 2k^0 - 2l^0$. Nous en déduisons après sommation $\sum_{s \in S'_1 \cup S'_2} \mu_s \geq 2 \sum_{s \in S'_1} l_s - 2l^0 + 2k' + 2v' - 2$, où v' (resp. k') désigne le nombre d'arêtes (resp. leur multiplicité totale) reliant cette composante à un sommet s_1, \dots, s_j . L'indice de Maslov d'une telle composante se trouve donc finalement minoré par $2v'$ excepté dans le cas où v' est nul et cet indice vaut -2 . Notons c_{-2} le nombre de composantes de $A_C \setminus \tilde{A}_C$ d'indice de Maslov total -2 . De ces calculs résulte que la contribution de $A_C \setminus \tilde{A}_C$ à l'indice de Maslov total de la courbe à deux étages codée par A_C est minorée par $2a - 2c_{-2}$ si $a + 1$ désigne le nombre de composantes connexes de \tilde{A}_C .

La contribution des sommets s_1, \dots, s_j est quant à elle minorée par $2r_X - 2j$. La courbe réelle que code le sommet s_0 se voit d'une part contrainte d'interpoler r points de L et d'autre part de converger en c_{-2} paires complexes conjuguées de ses pointes vers c_{-2} paires complexes conjuguées d'orbites de Reeb prescrites. En effet, les c_{-2} sommets correspondant de

$A_C \setminus \tilde{A}_C$ adjacents à s_0 codent des courbes rigides. Enfin, chaque sommet s_1, \dots, s_j connecté à s_0 présente l'alternative suivante. Soit la minoration précédente $2r_X - 2j$ est atteinte pour ce sommet et la courbe correspondante, avec ses conditions d'incidences, est rigide ; ce qui ajoute donc une contrainte supplémentaire pour une paire de pointes de s_0 . Soit la minoration précédente $2r_X - 2j$ n'est pas atteinte pour ce sommet et peut donc être améliorée de deux. Nous aboutissons dans tous les cas à la minoration $\sum_{s \in \tilde{A}_C} \mu_s \geq 2r_X - 2a + r - 1 + 2c_{-2}$. L'indice de Maslov total μ de la courbe à deux étages codée par A_C se trouve ainsi minoré par $r + 2r_X - 1 = c_d - 1$. Comme cet indice est par ailleurs majoré par cette quantité qui n'est autre que le degré du fibré normal d'une courbe rationnelle irréductible immergée homologue à d , toutes nos inégalités doivent être égalités. Nous en concluons que les composantes connexes de $A_C \setminus \tilde{A}_C$ qui ne sont pas connectées à s_0 sont réduites à un sommet codant un plan asymptote à une orbite de Reeb simple tandis que les composantes connectées à s_0 sont au nombre de c_{-2} et leur indice de Maslov vaut -2 . L'arbre \tilde{A}_C est en particulier connexe.

L'arbre A_C vient avec une donnée combinatoire supplémentaire, une fonction qui associe à chaque sommet à distance impaire de s_0 les classes d'homologies relatives de la paire de courbes correspondantes codée par ce sommet ainsi que les paires de points complexes conjugués de \underline{x} que ces courbes contiennent. Notons r_1, \dots, r_j le nombre de paires de points complexes conjugués de \underline{x} associées à s_1, \dots, s_j respectivement, de sorte que leur somme vaille r_X . Il y a 2^{r_i-1} partitions d'un ensemble de r_i points complexes conjugués en deux ensembles complexes conjugués, soit ici 2^{r_X-j} partitions au total. Une fois attribués à chaque courbe C_s l'ensemble de points qu'elle doit interpoler, certaines de ces courbes sont rigides et d'autres non. Notons j^- le nombre de telles courbes rigides et $j^+ = j - j^-$. D'après ce qui précède, la courbe réelle codée par s_0 , avec ses $j^- + c_{-2}$ paires d'asymptotes prescrites et ses r points réels à interpoler, est rigide. La dimension $2k_{s_0} + 2v_{s_0} - 1$ donnée par la Proposition 1.13 vaut donc en particulier $r + 2j^- + 2c_{-2}$. Par conséquent, les j^+ paires de courbes non-rigides précédentes héritent d'une contrainte supplémentaire, elles ont une paire d'asymptotes prescrites correspondant à une paire d'orbites de Reeb limites restées libres de la courbe C_{s_0} . Il y a deux bijections possibles entre une telle paire d'orbites de Reeb et une telle paire de courbes non-rigides, soit 2^{j^+} bijections au total. Ainsi, le nombre de courbes à deux étages ayant une combinatoire donnée par A_C est divisible par $2^{r_X-j^-}$. Or d'après le théorème de recollement en théorie symplectique des champs [1] et le Théorème 3.3, la contribution à l'invariant $\chi_r^d(L)$ d'une courbe à deux étages ne dépend que de sa combinatoire, de sorte que $2^{r_X-j^-}$ divise $\chi_r^d(L)$. L'équation

$$r + 2j^- + 2c_{-2} = 2k_{s_0} + 2v_{s_0} - 1 \quad (4)$$

impose l'inégalité $r + 1 \geq 2k_{s_0}$. On en déduit $2j^- \leq 2v_{s_0} \leq 2k_{s_0} \leq r + 1$ et le premier résultat énoncé dans le Théorème 2.1.

Tous les arbres A_C pour lesquels l'une des inégalités $2j^- \leq 2v_{s_0} \leq 2k_{s_0} \leq r + 1$ est stricte satisfont $2j^- \leq r - 1$ et le deuxième énoncé du Théorème 2.1 est immédiat. Soit A_C un arbre pour lequel $j^- = v_{s_0} = k_{s_0} = \frac{1}{2}(r + 1)$. Toutes les courbes codées par les sommets de cet arbre sont simples puisque d'indices de Maslov positifs et ont des orbite de Reeb simples pour asymptotes. Considérons la courbe C' formée de toutes les paires de courbes de l'étage $X \setminus L$ codées par A_C et de paires de plans complexes conjugués de T^*L convergeant vers $\partial C'$. Une telle courbe à deux étages se recolle en une courbe J -holomorphe réductible homologue à d ayant un nombre pair de composantes irréductibles échangées par c_X . Le nombre de points doubles d'une telle courbe a la parité de $g_d + 1$, d'après la formule d'adjonction. Supposons le lieu réel de X connexe, ce nombre de points double est alors également de la même parité que

le nombre de points d'intersection avec L , c'est-à-dire que le nombre de paires de plans de T^*L que l'on a introduit ou encore le nombre total d'arêtes v de l'arbre A_C . Or par hypothèse, g_d et $\frac{1}{2}(r+1)$ sont de même parité et $\frac{1}{2}(r+1) = v_{s_0}$. Par conséquent v et v_{s_0} ne sont pas de même parité ce qui impose l'existence d'un sommet de valence paire adjacent à s_0 . La structure presque complexe de $X \setminus L$ étant générale, toutes les pointes de la courbe codée par ce sommet ont des asymptotes distinctes et cette dernière est rigide puisque $j^- = v_{s_0}$. Le résultat *a)* découle à présent du fait qu'il y a un nombre pair de choix de la pointe de cette courbe à relier à C_{s_0} , ce qui permet d'améliorer d'une puissance de deux la divisibilité du nombre de courbes codées par ces arbres A_C .

Enfin, tous les arbres A_C pour lesquels $2k_{s_0} < r+1$ ou $v_{s_0} + 1 < k_{s_0}$ satisfont $2j^- \leq r-3$, ce qui découle de (4). Or si A_C est un arbre tel que $j^- = v_{s_0} = k_{s_0}$, le raisonnement que l'on vient de suivre fournit une paire de courbes J -holomorphes réductibles complexes conjuguées homologue à d . Notons d' la classe d'homologie d'une telle courbe de sorte que $d' - c_X(d') = d$. Cette courbe peut être choisie de sorte que l'indice d'intersection $|d' \circ [L]|$ vaille la multiplicité totale k des arêtes de A_C . Comme k et g_d ne sont pas de même parité, k fait partie de l'ensemble défini en *b)*. L'hypothèse implique à présent $2k_{s_0} \leq 2k < r+1$, d'où le résultat *b)* dans ce cas. Si en revanche $j^- = v_{s_0} = k_{s_0} - 1$, l'inégalité $2j^- < r+1$ permet d'améliorer d'une puissance de deux le premier énoncé du Théorème 2.1. En outre, une arête adjacente à s_0 est de multiplicité deux, de sorte qu'une courbe C_s se trouve connectée à C_{s_0} par une orbite de Reeb double. Le théorème de recollement en théorie symplectique des champs [1] garantit alors l'existence d'un nombre pair de courbes J -holomorphes convergeant vers une courbe à deux étages donnée codée par A_C . Cette parité provenant du paramètre de recollement associé à l'orbite double permet d'améliorer le premier énoncé du Théorème 2.1 d'une puissance de deux supplémentaire. D'où le résultat. \square

Démonstration du Théorème 2.2 :

Le complémentaire $X \setminus L$ est isomorphe au fibré en droites de bidegré $(1, 1)$ sur la quadrique $\mathbb{C}P^1 \times \mathbb{C}P^1$. Les courbes rationnelles irréductibles d'énergie de Hofer finie de ce complémentaire sont donc d'indice de Maslov positif. En effet, ce complémentaire se compactifie en le fibré en droites projectives F obtenu à partir de la somme du fibré trivial et du fibré de bidegré $(1, 1)$ sur $\mathbb{C}P^1 \times \mathbb{C}P^1$. Une courbe d'énergie de Hofer finie se compactifie en une courbe de F dont la classe d'homologie s'écrit $e + kf$, où e désigne une classe d'homologie effective de la section nulle $\mathbb{C}P^1 \times \mathbb{C}P^1$ du fibré et f la classe d'une fibre. Or il suit de la formule d'adjonction que l'évaluation de la première classe de Chern de F sur e est positive et vaut deux sur f . Les indices de Maslov de ces courbes sont donc positifs et ne peuvent qu'augmenter par revêtements ramifiés. Il s'ensuit que toutes les courbes C_s codées par les sommets s de l'arbre sont des courbes simples pour peu que la configuration de points choisie soit suffisamment générale. La dimension $\mu_s + 4$ des espaces de modules associés est donc strictement positive et même supérieure au quadruple (resp. au double) du nombre de points de la configuration que doit interpoler C_s si s est à distance impaire (resp. paire) de s_0 . Par suite, la contribution totale à l'indice de Maslov des sommets $s \in S_1$ de A_C à distance impaire de s_0 , lesquels codent les courbes de $X \setminus L$, se trouve minorée par $4r_X - 4\#S_1$. De même, la contribution totale à l'indice de Maslov des sommets $s \in S_2$ de A_C à distance paire de s_0 , lesquels codent les courbes de T^*L , se trouve minorée par $2r - 4\#S_2 + 2$ puisque s_0 code une courbe réelle ayant $\frac{1}{2}\mu_{s_0} + 2$ degrés de liberté. En outre, chaque arête de l'arbre A_C code une paire de pointes des courbes codées par les sommets adjacents et qui ont une même orbite de Reeb pour asymptote. Cette contrainte coûte quatre degrés de liberté supplémentaires par

arête, soit au total $4\#S_1 + 4\#S_2 - 4$ degrés, puisque le nombre d'arêtes d'un arbre diffère du nombre de sommets par un. Ceci nous permet finalement de minorer l'indice de Maslov de notre courbe à deux étages codée par A_C par $2r + 4r_X - 2 = \langle c_1(X), d \rangle - 2$. Cet indice est par ailleurs majoré par le degré $\langle c_1(X), d \rangle - 2$ du fibré normal de C , de sorte que toutes nos minorations sont des égalités. En particulier, tous les sommets adjacents à s_0 sont des feuilles qui doivent coder des courbes interpolant chacune au moins un point de la configuration, d'après la Proposition 1.13.

Notons à présent r_1, \dots, r_j le nombre de paires de points complexes conjugués de \underline{x} associées aux sommets s_1, \dots, s_j adjacents à s_0 respectivement, de sorte que leur somme vaille r_X . Il y a 2^{r_i-1} partitions d'un ensemble de r_i points complexes conjugués en deux ensembles complexes conjugués, soit ici 2^{r_X-j} partitions au total. Une fois attribués à chaque courbe C_s l'ensemble de points qu'elle doit interpoler, certaines de ces courbes sont rigides, d'autres conservent deux ou quatre degrés de liberté. Notons j^- le nombre de telles courbes rigides, j_1^+ (resp. j_2^+) le nombre de celles qui conservent deux (resp. quatre) degrés de liberté. D'après ce qui précède, la courbe réelle codée par s_0 , avec ses $j^- + j_1^+$ paires d'asymptotes prescrites et ses r points réels à interpoler, est rigide. La dimension $4k_{s_0} + 2v_{s_0}$ donnée par la Proposition 1.13 vaut donc en particulier $2r + 4j^- + 2j_1^+$. Par conséquent, les j_2^+ paires de courbes non-rigides précédentes héritent d'une contrainte supplémentaire, elles doivent converger en une paire de pointes complexes conjuguées vers une paire prescrite d'orbites de Reeb limites de la courbe C_{s_0} . Il y a deux bijections possibles entre une telle paire d'orbites de Reeb et une telle paire de courbes non-rigides, soit $2^{j_2^+}$ bijections au total. Ainsi, le nombre de courbes à deux étages ayant une combinatoire donnée par A_C est divisible par $2^{r_X-j^- - j_1^+}$. Or d'après le théorème de recollement en théorie symplectique des champs [1] et le Théorème 3.3, la contribution à l'invariant χ_r^d d'une courbe à deux étages ne dépend que de sa combinatoire, de sorte que $2^{r_X-j^- - j_1^+}$ divise χ_r^d . L'équation $2r + 4j^- + 2j_1^+ = 4k_{s_0} + 2v_{s_0}$ impose l'inégalité $r \geq k_{s_0}$. On en déduit $j^- + j_1^+ \leq v_{s_0} \leq r$ de sorte que 2^{r_X-r} divise χ_r^d . Or par hypothèse, $2r + 4r_X = 3\delta$ puisque la première classe de Chern de la quadrique de dimension trois est Poincaré duale au triple de la section hyperplane. Le Théorème 2.2 en découle. \square

Démonstration du Théorème 2.3 :

D'après les hypothèses que l'on a faites, le complémentaire $X \setminus L$ est isomorphe au fibré en droites de degré quatre sur $\mathbb{C}P^1$ éclaté en six points complexes conjugués au maximum. Ce complémentaire ne contient par conséquent pas de courbes rationnelles irréductibles d'énergie de Hofer finie et d'indice de Maslov négatif ayant plus de deux pointes. En effet, ce complémentaire se compactifie en la surface réglée rationnelle de degré quatre Σ_4 éclatée en six points complexes conjugués au maximum. Une courbe d'énergie de Hofer finie se compactifie en une courbe dont la classe d'homologie s'écrit $ne + kf - \sum \alpha_i E_i$, où e désigne la section nulle du fibré, f une fibre et E_i les diviseurs exceptionnels des éclatements. L'irréductibilité de la courbe force $0 \leq \alpha_i \leq n$ dès que $n \geq 1$ et la première classe de Chern de Σ_4 est duale à $2e - 2f - \sum E_i$, de sorte que son évaluation $6n + 2k - \sum \alpha_i$ sur la courbe soit minorée par $2k$ lorsque $n \geq 1$. L'indice de Maslov de telles courbes C_s est donc positif, puisque minoré par $2k - 2\chi(C_s)$. L'absence de courbes d'indice de Maslov -2 autres que planes a pour conséquence que pour tout arbre A_C , les courbes C_s codées par les sommets s de l'arbre sont des courbes simples pour peu que la configuration de points choisie soit suffisamment générale. La dimension $\mu_s + 2$ des espaces de modules associés est donc positive et même supérieure au double du nombre (resp. au nombre) de points de la configuration que doit interpoler C_s si s

est à distance impaire (resp. paire) de s_0 . Par suite, la contribution totale à l'indice de Maslov des sommets $s \in S_1$ de A_C à distance impaire de s_0 , lesquels codent les courbes de $X \setminus L$, se trouve minorée par $2r_X - 2\#S_1$. De même, la contribution totale à l'indice de Maslov des sommets $s \in S_2$ de A_C à distance paire de s_0 , lesquels codent les courbes de T^*L , se trouve minorée par $r - 2\#S_2 + 1$ puisque s_0 code une courbe réelle ayant $\frac{1}{2}\mu_{s_0} + 1$ degrés de liberté. En outre, chaque arête de l'arbre A_C code une paire de pointes des courbes codées par les sommets adjacents et qui ont une même orbite de Reeb pour asymptote. Cette contrainte coûte deux degrés de liberté supplémentaires par arête, soit au total $2\#S_1 + 2\#S_2 - 2$ degrés, puisque le nombre d'arêtes d'un arbre diffère du nombre de sommets par un. Ceci nous permet finalement de minorer l'indice de Maslov de notre courbe à deux étages codée par A_C par $r + 2r_X - 1 = c_d - 1$. Cet indice est par ailleurs majoré par le degré $c_d - 1$ du fibré normal de C , de sorte que toutes nos minoration sont des égalités. En particulier, tous les sommets à distance paire de s_0 autre que s_0 lui-même codent soit des cylindres convergeant vers des orbites de Reeb simplement revêtues, soit des plans convergeant vers des orbites doublement revêtues puisque ce sont d'après la Proposition 1.13 les seules courbes de $T^*\mathbb{R}P^2$ rigides une fois leurs orbites de Reeb limites prescrites. Reprenons à ce stade la démarche suivie dans le troisième paragraphe de la démonstration du Théorème 2.1. On note r_1, \dots, r_j le nombre de paires de points complexes conjugués de \underline{x} associées à s_1, \dots, s_j respectivement, de sorte que leur somme vaille r_X . Il y a 2^{r_i-1} partitions d'un ensemble de r_i points complexes conjugués en deux ensembles complexes conjugués, soit 2^{r_X-j} partitions au total. Une fois attribués à chaque courbe C_s l'ensemble de points qu'elle doit interpoler, certaines de ces courbes sont rigides et d'autres non. Notons j_1 le nombre de telles courbes rigides non adjacentes à C_{s_0} et j^- le nombre de telles courbes rigides adjacentes à C_{s_0} . Les j^+ courbes restantes sont adjacentes à C_{s_0} et gardent deux degrés de liberté une fois interpolés les r_k points qu'elles doivent interpoler ; c'est la condition d'adjacence à C_{s_0} qui les rigidifie. D'après ce qui précède, la courbe réelle codée par s_0 , avec ses $j^- + c_{-2}$ paires d'asymptotes prescrites et ses r points réels à interpoler, est rigide, où c_{-2} désigne à nouveau le nombre de courbes rigides adjacentes à C_{s_0} et autres que les j^- courbes soumises à des conditions d'incidence. La dimension $k_{s_0} + 2v_{s_0} - 1$ donnée par la Proposition 1.13 vaut donc en particulier $r + 2j^- + 2c_{-2}$. Par conséquent, les j^+ paires de courbes non-rigides précédentes héritent d'une contrainte supplémentaire, elles ont une paire d'asymptotes prescrites correspondant à une paire d'orbites de Reeb limites restées libres de la courbe C_{s_0} . Il y a deux bijections possibles entre une telle paire d'orbites de Reeb et une telle paire de courbes non-rigides, soit 2^{j^+} bijections au total. De même, les j_1 courbes rigides non adjacentes à C_{s_0} sont codées par des sommets adjacents à au moins un sommet bivalent de l'arbre A_C puisque ce dernier est connexe et que les autres sommets adjacents sont des feuilles. D'après ce qui précède, ce sommet bivalent code une paire de cylindres complexes conjugués de T^*L reliant deux paires complexe d'orbites limites de deux paires complexes conjuguées de courbes rigides de $X \setminus L$. Il y a deux façons d'apparier ces orbites, soit 2^{j_1} bijections au total. Ainsi, le nombre de courbes à deux étages ayant une combinatoire donnée par A_C est divisible par $2^{r_X-j^-}$. Or d'après le théorème de recollement en théorie symplectique des champs [1] et le Théorème 3.3, la contribution à l'invariant $\chi_r^d(L)$ d'une courbe à deux étages ne dépend que de sa combinatoire, de sorte que $2^{r_X-j^-}$ divise $\chi_r^d(L)$. Nous disposons cette fois-ci de la relation $r + 2j^- + 2c_{-2} = k_{s_0} + 2v_{s_0} - 1$ qui impose l'inégalité $r + 1 \geq k_{s_0}$. On en déduit donc $j^- \leq v_{s_0} \leq k_{s_0} \leq r + 1$ et le premier résultat énoncé dans le Théorème 2.3.

Tous les arbres A_C pour lesquels l'une des inégalités $j^- \leq v_{s_0} \leq k_{s_0} \leq r + 1$ est stricte satisfont $j^- \leq r$. Pour montrer le second résultat énoncé dans le Théorème 2.3, on peut donc

se restreindre aux arbres satisfaisant $j^- = v_{s_0} = k_{s_0} = r + 1$. En particulier, la courbe codée par s_0 n'a que des orbites simples pour limites. Si un tel arbre possède une feuille à distance paire de s_0 , on a vu qu'elle doit coder un plan asymptote à une orbite double. Le théorème de recollement en théorie symplectique des champs garantit alors qu'il y a deux façons de recoller ce plan au restant de la courbe. Ce paramètre de recollement permet donc à nouveau dans ce cas là d'améliorer d'une puissance de deux le premier énoncé du Théorème 2.3. On peut donc supposer que toutes les arêtes des arbres A_C sont de multiplicité un. Notons C_1 la réunion des courbes codées par les sommets à distances impaires de s_0 et \overline{C}_1 sa compactifiée dans Σ_4 . La classe d'homologie de \overline{C}_1 s'écrit $vf + g$, où f est la classe d'une fibre de Σ_4 , v est le nombre d'arêtes de A_C et $g \in H_2(X \setminus L; \mathbb{Z})$. La classe d'homologie d s'écrit alors

$$v(f + (c_X)_*f) + g + (c_X)_*g = vh + g + (c_X)_*g, \quad (5)$$

d'où $\langle d, h \rangle = v \pmod{4}$. On déduit donc des hypothèses faites que $v = r - 1 \pmod{4}$, puis que le nombre de sommets à distance paire de s_0 , s_0 exclu, est impair puisque $v_{s_0} = r + 1$. Ceci force l'existence d'un sommet s de valence paire parmi les sommets à distance impaire de s_0 . Or, le nombre de courbes à deux étages codées par un tel arbre est pair. En effet, si s est adjacent à s_0 , il y a parmi les pointes de C_s un nombre pair de choix de celle reliée à s_0 . Si s n'est pas adjacent à s_0 , il est relié à un nombre pair de sommets bivalents de S_2 , eux-mêmes reliés à un nombre pair de sommets de S_1 de sorte que ces sommets bivalents ne font que connecter bijectivement ces derniers aux pointes de C_s . Le nombre de telles bijections étant pair, nous pouvons à nouveau dans ce dernier cas d'améliorer d'une puissance de deux le résultat précédent, ce qui démontre le second énoncé du Théorème 2.3.

Enfin, dans le cas du plan projectif complexe, lorsque $r + 1 = d - 2$, on déduit aussi de la relation (5) l'inégalité $v \leq d$, inégalité stricte dès que $\langle g, h \rangle \neq 0$. Or l'annulation $\langle g, h \rangle$ force les sommets adjacents à s_0 à être des feuilles, ce qui est exclu par la majoration $k_{s_0} \leq r + 1 < d$. Par suite, $v \leq d - 4$, $k_{s_0} \leq d - 4 < r + 1$ et l'équation $r + 2j^- + 2c_{-2} = k_{s_0} + 2v_{s_0} - 1$ impose $j^- < v_{s_0}$. Dans ce cas, on obtient donc $r_X - j^- = d + 1 - j^- \geq d + 2 - k_{s_0} \geq 6$, d'où le résultat. \square

3 Calculs

3.1 Invariants énumératifs réels de fibrés cotangents

3.1.1 Construction des espaces de modules

Soit L une sphère, un tore ou un espace projectif réel de dimension $n = 2$ ou 3 . Le fibré cotangent de L est équipé de sa forme de Liouville λ et de l'involution c_L définie par $(q, p) \in T^*L \mapsto (q, -p) \in T^*L$. Cette dernière satisfait $c_L^*\lambda = -\lambda$ de sorte que $(T^*L, d\lambda, c_L)$ est une variété symplectique réelle. Soit g une métrique à courbure constante sur L , U^*L l'ensemble des couples $(q, p) \in T^*L$ tels que $g(p, p) \leq 1$ et S^*L le bord de U^*L . La restriction de λ à S^*L est une forme de contact et l'on note R_λ le champ de Reeb associé. Le flot engendré par R_λ n'est autre que le flot géodésique. Notons \mathcal{J}_λ l'espace des structures presque-complexes positives pour $d\lambda$ et asymptotiquement cylindriques sur une structure CR de S^*L . Plus précisément, le champ radial de T^*L identifie le complémentaire de la section nulle avec la symplectisation $(\mathbb{R} \times S^*L, d(e^\rho \lambda))$ de (S^*L, λ) . On note \mathcal{J}_λ l'espace des structures presque-complexes J positives pour $d\lambda$, de classe C^l , $l \gg 1$, qui satisfont $J(\frac{\partial}{\partial \rho}) = R_\lambda$ et préservent le noyau de λ pour $\rho \gg 1$ et qui enfin sont invariantes par translation par ρ au-delà d'un

certain rang ρ_0 . Nous notons alors $\mathbb{R}\mathcal{J}_\lambda \subset \mathcal{J}_\lambda$ le sous-espace des structures presque-complexes pour lesquelles c_L est J -antiholomorphe. Ces espaces \mathcal{J}_λ et $\mathbb{R}\mathcal{J}_\lambda$ sont tous deux des variétés de Banach séparable non-vides et contractiles.

Soit S une sphère de dimension deux orientée et \mathcal{J}_S l'espace des structures presque-complexes de classe C^l sur S qui sont compatibles avec son orientation. Soient $v_{\mathbb{C}} \in \mathbb{N}^*$ et $y_1, \dots, y_{v_{\mathbb{C}}}$ une collection de $v_{\mathbb{C}}$ points distincts sur S . Il suit de [6] et du Corollaire 5.1 de [1] qu'il existe $0 < d \ll 1$ tel que pour tous $J_S \in \mathcal{J}_S$, $J \in \mathcal{J}_\lambda$ et toute application J -holomorphe propre $u : S \setminus \{y_1, \dots, y_{v_{\mathbb{C}}}\} \rightarrow T^*L$ d'énergie de Hofer finie, l'application u a le comportement suivant au voisinage de chaque point y_i . Fixons un paramétrage local J_S -holomorphe de S au voisinage de chaque point y_i , $1 \leq i \leq v_{\mathbb{C}}$ par l'anneau $\mathbb{C}_1 = \{z \in \mathbb{C} \mid |z| \geq 1\}$, puis des coordonnées cylindriques $(s, t) \in \mathbb{R}^* \times [0, 1] \mapsto e^{s+2\pi it} \in \mathbb{C}_1$ de cet anneau. On en déduit un paramétrage de S au voisinage de chaque point y_i de la forme $\phi_i : (s, t) \in \mathbb{R}^* \times [0, 1] \rightarrow S \setminus \{y_1, \dots, y_{v_{\mathbb{C}}}\}$, $1 \leq i \leq v_{\mathbb{C}}$. Pour $1 \leq i \leq v_{\mathbb{C}}$, notons $u \circ \phi_i = (\rho_i, \tilde{u}_i)$, où $\rho_i : (s, t) \in \mathbb{R}^+ \times [0, 1] \rightarrow \mathbb{R}$ et $\tilde{u}_i : (s, t) \in \mathbb{R}^+ \times [0, 1] \rightarrow S^*L$. Alors, pour $1 \leq i \leq v_{\mathbb{C}}$, il existe $s_i \in \mathbb{R}$, $k_i \in \mathbb{N}^*$ et des orbites γ_i du flot de Reeb tels que les fonctions distances $|\rho_i(s, t) - (k_i A)s - s_i|$ et $d(\tilde{u}(s, t) - \gamma_i((k_i A)t))$ appartiennent à l'espace fonctionnel $L_d^{k,p} = \{f : \mathbb{R}^+ \times [0, 1] \rightarrow \mathbb{R}^+ \mid f(s, t)e^{ds} \in L^{k,p}(\mathbb{R}^+ \times [0, 1], \mathbb{R})\}$ et ceci quel que soient $1 \ll k \ll l$ et $2 < p < +\infty$, où A désigne l'intégrale de λ sur l'orbite de Reeb simple sous-jacente et $L^{k,p}(\mathbb{R}^+ \times [0, 1], \mathbb{R})$ désigne l'espace des fonctions ayant k dérivées dans L^p . On note $L_d^{k,p}(S \setminus \{y_1, \dots, y_{v_{\mathbb{C}}}\}, T^*L)$ l'espace des fonctions propres $u : S \setminus \{y_1, \dots, y_{v_{\mathbb{C}}}\} \rightarrow T^*L$ ayant cette propriété. C'est une variété de Banach séparable. Soient à présent $v_{\mathbb{C}}^- \in \mathbb{N}^*$, $k_1, \dots, k_{v_{\mathbb{C}}^-} \in \mathbb{N}^*$ et $\gamma_1, \dots, \gamma_{v_{\mathbb{C}}^-}$ une collection d'orbites disjointes du flot de Reeb, de sorte que lorsque $v_{\mathbb{C}}^-$ s'annule, $\Gamma = \{\gamma_1, \dots, \gamma_{v_{\mathbb{C}}^-}\}$ soit vide. Soient $r_{\mathbb{C}} \in \mathbb{N}$, $z_1, \dots, z_{r_{\mathbb{C}}} \in S \setminus \{y_1, \dots, y_{v_{\mathbb{C}}}\}$ et $x_1, \dots, x_{r_{\mathbb{C}}} \in T^*L$ une collection de points distincts, de sorte qu'à nouveau, lorsque $r_{\mathbb{C}}$ s'annule, $\{x_1, \dots, x_{r_{\mathbb{C}}}\}$ soit vide. Soit alors

$$\mathcal{P}(\Gamma) = \{(u, J_S, J) \in L_d^{k,p}(S \setminus \{y_1, \dots, y_{v_{\mathbb{C}}}\}, T^*L) \times \mathcal{J}_S \times \mathcal{J}_\lambda \mid du + J \circ du \circ J_S = 0, u(z_i) = x_i,$$

$$\lim_{z \rightarrow y_i^-} u(z) = k_i \gamma_i \text{ et } \lim_{s \rightarrow +\infty} \int (u \circ \phi_i)^* \lambda = k_i A\},$$

et $\mathcal{P}^*(\Gamma) \subset \mathcal{P}(\Gamma)$ le sous-espace des applications pseudo-holomorphes non-multiples. Soit $\text{Diff}^+(S, \underline{z}, \underline{y})$ le groupe des difféomorphismes de classe C^{l+1} de S qui préservent l'orientation et fixent $\underline{z}, \underline{y}$. Ce groupe agit sur $\mathcal{P}^*(\Gamma)$ par $(\phi, (u, J_S, J)) \in \text{Diff}^+(S, \underline{z}, \underline{y}) \times \mathcal{P}^*(\Gamma) \mapsto (u \circ \phi^{-1}, \phi^* J_S, J) \in \mathcal{P}^*(\Gamma)$, où $\phi^* J_S = d\phi \circ J_S \circ d\phi^{-1}$. On note $\mathcal{M}_{r_{\mathbb{C}}}^{v_{\mathbb{C}}}(\Gamma, \underline{x})$ le quotient $\mathcal{P}^*(\Gamma)/\text{Diff}^+(S, \underline{z}, \underline{y})$ et $\pi : \mathcal{M}_{r_{\mathbb{C}}}^{v_{\mathbb{C}}}(\Gamma, \underline{x}) \rightarrow \mathcal{J}_\lambda$ la projection induite par $(u, J_S, J) \in \mathcal{P}^*(\Gamma) \rightarrow J \in \mathcal{J}_\lambda$.

Fixons une métrique g_L sur T^*L préservée par c_L et invariante par translation par ρ pour ρ assez grand. Elle induit une connexion ∇ sur TT^*L et tous les fibrés associés. Si $(u, J_S, J) \in \mathcal{P}^*(\Gamma)$, on note D l'opérateur de Gromov $v \in L_d^{k,p}(S \setminus \{y_1, \dots, y_{v_{\mathbb{C}}}\}, T^*L) \mapsto \nabla v + J \circ \nabla v \circ J_S + \nabla_v J \circ du \circ J_S \in L_d^{k-1,p}(S \setminus \{y_1, \dots, y_{v_{\mathbb{C}}}\}, \Lambda^{0,1}S \otimes u^*TT^*L)$. Ce dernier induit un opérateur $\bar{D} : L_d^{k,p}(S \setminus \{y_1, \dots, y_{v_{\mathbb{C}}}\}, u^*TT^*L)/du(L_d^{k,p}(S \setminus \{y_1, \dots, y_{v_{\mathbb{C}}}\}, TS) \rightarrow L_d^{k-1,p}(S \setminus \{y_1, \dots, y_{v_{\mathbb{C}}}\}, \Lambda^{0,1}S \otimes u^*TT^*L)/du(L_d^{k-1,p}(S \setminus \{y_1, \dots, y_{v_{\mathbb{C}}}\}, \Lambda^{0,1}S \otimes TS))$ (voir la formule 1.5.1 de [11] et le paragraphe 1.4 de [21]). On note $H_{\bar{D}}^0(S; \mathcal{N}_{u, -\underline{z}})$ (resp. $H_{\bar{D}}^1(S; \mathcal{N}_{u, -\underline{z}})$) le noyau (resp. conoyau) de \bar{D} .

Proposition 3.1 *L'espace $\mathcal{M}_{r_{\mathbb{C}}}^{v_{\mathbb{C}}}(\Gamma, \underline{x})$ est une variété de Banach séparable de classe C^{l-k} . La projection π est Fredholm, de noyau (resp. conoyau) isomorphe à $H_{\overline{D}}^0(S; \mathcal{N}_{u, -\underline{z}})$ (resp. $H_{\overline{D}}^1(S; \mathcal{N}_{u, -\underline{z}})$). En particulier, l'indice de π vaut $2(n-1) \sum_{i=1}^{v_{\mathbb{C}}} k_i + 2v_{\mathbb{C}} - 2 - 2(n-1)r_{\mathbb{C}} - 2(n-1)v_{\overline{\mathbb{C}}}$ si L est une sphère, $(n-1) \sum_{i=1}^{v_{\mathbb{C}}} k_i + 2v_{\mathbb{C}} - 2 - 2(n-1)r_{\mathbb{C}} - 2(n-1)v_{\overline{\mathbb{C}}}$ si L est un plan projectif réel et $2v_{\mathbb{C}} + 2n - 6 - 2(n-1)r_{\mathbb{C}} - (n-1)v_{\overline{\mathbb{C}}}$ si L est un tore.*

Démonstration :

La première partie de la Proposition 3.1 est classique. L'identification des noyau et conoyau de π avec ceux de \overline{D} se démontre comme le Théorème 2 de [11]. Le caractère Fredholm de D découle de la Proposition 5.2 de [1] (voir aussi le sixième paragraphe de [7]). Le calcul des indices découle des Propositions 1.12 et 1.13. \square

Supposons à présent que $v_{\mathbb{C}} = 2v_{\mathbb{R}}$, $v_{\overline{\mathbb{C}}} = 2v_{\overline{\mathbb{R}}}$ et $r_{\mathbb{C}} = r + 2r_L$. Pour $1 \leq i \leq v_{\mathbb{R}}$ (resp. $1 \leq j \leq v_{\overline{\mathbb{R}}}$), on note $y_{v_{\mathbb{R}}+i} = \overline{y}_i$ (resp. $\gamma_{v_{\overline{\mathbb{R}}}+j} = \overline{\gamma}_j$). De même, pour $1 \leq i \leq r_L$, on note $z_{r+r_L+i} = \overline{z}_{r+i}$ et $x_{r+r_L+i} = \overline{x}_{r+i}$. On suppose cette fois-ci que $x_1, \dots, x_r \in L \subset T^*L$ et que pour $1 \leq i \leq r_L$ (resp. $1 \leq j \leq v_{\overline{\mathbb{R}}}$), $\overline{x}_{r+i} = c_L(x_{r+i})$ (resp. $\overline{\gamma}_j = -c_L(\gamma_j)$). On note $\mathcal{D}iff(S, \underline{z}, \underline{y})$ le groupe des difféomorphismes de classe C^{l+1} de S qui fixent \underline{z} et \underline{y} s'ils préservent l'orientation ou bien fixent z_1, \dots, z_r et échangent y_i, \overline{y}_i et $z_{r+j}, \overline{z}_{r+j}$ s'ils renversent l'orientation, $1 \leq i \leq v_{\mathbb{R}}$, $1 \leq j \leq r_L$. Sous les hypothèses que l'on vient de faire, cette extension d'indice deux de $\mathcal{D}iff^+(S, \underline{z}, \underline{y})$ agit également sur $\mathcal{P}^*(\Gamma)$ par $(\phi, (u, J_S, J)) \in \mathcal{D}iff(S, \underline{z}, \underline{y}) \times \mathcal{P}^*(\Gamma) \mapsto (c_L \circ u \circ \phi^{-1}, \phi^* J_S, \overline{c}_L^* J) \in \mathcal{P}^*(\Gamma)$ lorsque $\phi \notin \mathcal{D}iff^+(S, \underline{z}, \underline{y})$, où $\overline{c}_L^* J = -dc_L \circ J \circ dc_L$. Par suite, le quotient $\mathcal{M}_{r_{\mathbb{C}}}^{v_{\mathbb{C}}}(\Gamma, \underline{x}) = \mathcal{P}^*(\Gamma) / \mathcal{D}iff^+(S, \underline{z}, \underline{y})$ se trouve à présent équipé d'une action de $\mathbb{Z}/2\mathbb{Z} = \mathcal{D}iff(S, \underline{z}, \underline{y}) / \mathcal{D}iff^+(S, \underline{z}, \underline{y})$, notée $c_{\mathcal{M}}$. La projection $\pi : (\mathcal{M}_{r_{\mathbb{C}}}^{v_{\mathbb{C}}}(\Gamma, \underline{x}), c_{\mathcal{M}}) \rightarrow (\mathcal{J}_{\lambda}, \overline{c}_L^*)$ est alors $\mathbb{Z}/2\mathbb{Z}$ -équivariante. On note $\mathbb{R}\mathcal{M}_{(r, r_L)}^{v_{\mathbb{R}}}(\Gamma, \underline{x})$ le lieu fixe de $c_{\mathcal{M}}$ et $\pi_{\mathbb{R}} : \mathbb{R}\mathcal{M}_{(r, r_L)}^{v_{\mathbb{R}}}(\Gamma, \underline{x}) \rightarrow \mathbb{R}\mathcal{J}_{\lambda}$ la projection induite par π . De la même manière que dans [21], les seuls éléments de $\mathcal{D}iff(S, \underline{z}, \underline{y})$ qui peuvent avoir des points fixes dans $\mathcal{P}^*(\Gamma)$ sont d'ordre deux et renversent l'orientation de S (voir le Lemme 1.3 de [21]) et l'opérateur D est $\mathcal{D}iff(S, \underline{z}, \underline{y})$ -équivariant (Lemme 1.5 de [21]). Si $c_S \in \mathcal{D}iff(S, \underline{z}, \underline{y})$ est un tel élément d'ordre deux et $(u, J_S, J) \in \mathcal{P}^*(\Gamma)$ un point fixe de c_S , on note $L_d^{k,p}(S \setminus \{y_1, \dots, y_{v_{\mathbb{C}}}\}, u^* TT^* L)_{+1}$, $L_d^{k,p}(S \setminus \{y_1, \dots, y_{v_{\mathbb{C}}}\}, TS)_{+1}$ et $L_d^{k-1,p}(S \setminus \{y_1, \dots, y_{v_{\mathbb{C}}}\}, \Lambda^{0,1} S \otimes u^* TT^* L)_{+1}$, $L_d^{k-1,p}(S \setminus \{y_1, \dots, y_{v_{\mathbb{C}}}\}, \Lambda^{0,1} S \otimes TS)_{+1}$ les espaces propres associés aux valeurs propres $+1$ de l'action de c_S sur $L_d^{k,p}(S \setminus \{y_1, \dots, y_{v_{\mathbb{C}}}\}, u^* TT^* L)$, $L_d^{k,p}(S \setminus \{y_1, \dots, y_{v_{\mathbb{C}}}\}, TS)$ et $L_d^{k-1,p}(S \setminus \{y_1, \dots, y_{v_{\mathbb{C}}}\}, \Lambda^{0,1} S \otimes u^* TT^* L)$, $L_d^{k-1,p}(S \setminus \{y_1, \dots, y_{v_{\mathbb{C}}}\}, \Lambda^{0,1} S \otimes TS)$ respectivement. On note alors $\overline{D}_{\mathbb{R}}$ l'opérateur induit $L_d^{k,p}(S \setminus \{y_1, \dots, y_{v_{\mathbb{C}}}\}, u^* TT^* L)_{+1} / du(L_d^{k,p}(S \setminus \{y_1, \dots, y_{v_{\mathbb{C}}}\}, TS)_{+1}) \rightarrow L_d^{k-1,p}(S \setminus \{y_1, \dots, y_{v_{\mathbb{C}}}\}, \Lambda^{0,1} S \otimes u^* TT^* L)_{+1} / du(L_d^{k-1,p}(S \setminus \{y_1, \dots, y_{v_{\mathbb{C}}}\}, \Lambda^{0,1} S \otimes TS)_{+1})$ et $H_{\overline{D}}^0(S; \mathcal{N}_{u, -\underline{z}})_{+1}$, $H_{\overline{D}}^1(S; \mathcal{N}_{u, -\underline{z}})_{+1}$ ses noyau et conoyau.

Proposition 3.2 *L'espace $\mathbb{R}\mathcal{M}_{(r, r_L)}^{v_{\mathbb{R}}}(\Gamma, \underline{x})$ est une variété de Banach séparable de classe C^{l-k} . La projection $\pi_{\mathbb{R}}$ est Fredholm, de noyau (resp. conoyau) isomorphe à $H_{\overline{D}}^0(S; \mathcal{N}_{u, -\underline{z}})_{+1}$ (resp. $H_{\overline{D}}^1(S; \mathcal{N}_{u, -\underline{z}})_{+1}$). En particulier, l'indice de $\pi_{\mathbb{R}}$ vaut $2(n-1) \sum_{i=1}^{v_{\mathbb{R}}} k_i + 2v_{\mathbb{R}} - 1 - (n-1)r - 2(n-1)r_L - 2(n-1)v_{\overline{\mathbb{R}}}$ si L est une sphère, $(n-1) \sum_{i=1}^{v_{\mathbb{R}}} k_i + 2v_{\mathbb{R}} - 1 - (n-1)r - 2(n-1)r_L - 2(n-1)v_{\overline{\mathbb{R}}}$ si L est un plan projectif réel et $2v_{\mathbb{R}} + n - 3 - (n-1)r - 2(n-1)r_L - (n-1)v_{\overline{\mathbb{R}}}$ si L est un tore.* \square

La démonstration de cette proposition est strictement analogue à celle de la Proposition 1.9 de [21] et n'est pas reproduite ici.

3.1.2 Définition des invariants

Nous allons compter les courbes J -holomorphes rationnelles réelles pointées d'énergie de Hofer finie proprement immergées dans T^*L en fonction d'un signe ± 1 de façon à obtenir un invariant associé à T^*L . Rappelons que d'après le Théorème 1.2 de [6] et d'après [1], ces courbes rationnelles pointées convergent en leurs pointes vers des orbites de Reeb parcourues un nombre entier de fois, que l'on appelle multiplicité. La dimension de l'espace des modules de telles courbes a été calculée dans la Proposition 1.13 et dépend du nombre de pointes et des multiplicités associées. Afin d'obtenir un nombre fini de courbes, nous allons soumettre ces courbes à quelques contraintes, soit en les forçant à converger vers des orbites de Reeb prescrites, soit en les forçant à passer par des points de L ou des paires de points complexes conjugués de $T^*L \setminus L$. Soit $e_i, i \geq 1$, la suite d'entiers partout nulle sauf au i -ème rang où elle vaut un. Soient $\alpha = \sum_{i \in \mathbb{N}^*} \alpha_i e_i$ et $\beta = \sum_{i \in \mathbb{N}^*} \beta_i e_i$ deux suites d'entiers positifs qui s'annulent à partir d'un certain rang. Ces deux suites codent respectivement le nombre de paires d'orbites de Reeb complexes conjuguées limites prescrites et non prescrites de nos courbes, avec leur multiplicités $i \in \mathbb{N}^*$. Le nombre de pointes de nos courbes vaut donc $2v = 2 \sum_{i \in \mathbb{N}^*} (\alpha_i + \beta_i)$ et nous choisissons un ensemble Γ de $\sum_{i \in \mathbb{N}^*} \alpha_i$ géodésiques fermées disjointes de L pour prescrire nos paires d'orbites de Reeb limites. À présent, afin de fixer nos contraintes ponctuelles, soient $r \in \mathbb{N}$ et x_1, \dots, x_r des points distincts de L . De même, soient $r_L \in \mathbb{N}$ et $\xi_1, \bar{\xi}_1, \dots, \xi_{r_L}, \bar{\xi}_{r_L}$ des paires distinctes de points complexes conjugués de $T^*L \setminus L$, c'est-à-dire satisfaisant $c_L(\xi_i) = \bar{\xi}_i$. Nous supposons que

$$(n-1)r + 2(n-1)r_L + 2(n-1)\#\Gamma = 2v + \epsilon(n-1) \sum_{i \in \mathbb{N}^*} i(\alpha_i + \beta_i) + n - 3, \quad (6)$$

où $\epsilon = 2$ si L est homéomorphe à une sphère et $\epsilon = 1$ si L est homéomorphe à un espace projectif réel, tandis que nous supposons

$$(n-1)r + 2(n-1)r_L = 2v + n - 3 \text{ et } \alpha = 0 \quad (7)$$

si L est homéomorphe à un tore.

Alors, lorsque la structure presque-complexe $J \in \mathbb{R}\mathcal{J}_\lambda$ est générique, il n'y a qu'un nombre fini de courbes J -holomorphes rationnelles réelles d'énergie de Hofer finie, proprement immergées dans T^*L et ayant $2v$ pointes qui passent par \underline{x} , par chaque paire $\{\xi_i, \bar{\xi}_i\}$ et qui convergent vers les orbites de Reeb relevant les éléments de Γ ainsi que vers β_j autres paires d'orbites, $j \in \mathbb{N}^*$, chacune avec multiplicité j ou de classe d'homologie donnée si L est un tore. En effet, si L est un tore, il y a une infinité de géodésiques fermées primitives non homologues et la dimension (7) ne dépend pas du choix des classes d'homologies de sorte qu'il y a une infinité d'espaces de modules ayant la même dimension. Pour garantir la finitude, nous imposons les classes d'homologies des orbites de Reeb limites. Notons $\mathcal{R}(\alpha, \beta, \Gamma, \underline{x}, \underline{\xi}, J)$ cet ensemble fini de courbes, la généricité de J garantit qu'elles sont toutes immergées. Si L est de dimension deux, on définit alors comme dans [21] la masse $m(C)$ d'une telle courbe C comme le nombre fini de ses points doubles réels isolés, c'est-à-dire de ses points doubles situés sur L et qui sont l'intersection transverses de deux branches complexes conjuguées. On pose

$$F_{(r, r_L)}(\alpha, \beta, \Gamma, \underline{x}, \underline{\xi}, J) = \sum_{C \in \mathcal{R}(\alpha, \beta, \Gamma, \underline{x}, \underline{\xi}, J)} (-1)^{m(C)} \in \mathbb{Z}.$$

Si L est de dimension trois, on l'équipe d'une structure spin. Ceci permet d'associer un état spinoriel $\text{sp}(C)$ à chaque courbe $C \in \mathcal{R}(\alpha, \beta, \Gamma, \underline{x}, \underline{\xi}, J)$ comme expliqué au paragraphe 5.2

de [20]. Cet état spinoriel est défini comme suit. La linéarisation de l'équation de Cauchy-Riemann en C fournit un opérateur surjectif de Cauchy-Riemann généralisé défini sur un espace de Banach de sections du fibré normal de C à valeurs dans un espace de Banach de formes de type $(0, 1)$ à valeurs dans le fibré normal de C . Si cet opérateur est \mathbb{C} -linéaire, il induit une structure de fibré vectoriel holomorphe sur le fibré normal de C qui se décompose comme somme équilibrée de fibrés en droites complexes. Cette décomposition fournit un repère mobile le long de la partie réelle de C qui permet de définir l'état spinoriel de C comme l'obstruction à relever ce repère à un repère du fibré des spineurs, voir [22], [20]. Si cet opérateur surjectif de Cauchy-Riemann généralisé n'est que \mathbb{R} -linéaire, il peut être relié à un opérateur \mathbb{C} -linéaire par un chemin transverse à l'espace des opérateurs non-surjectifs. L'état spinoriel de C est alors défini comme état spinoriel de l'opérateur \mathbb{C} -linéaire corrigé par la parité du nombre d'intersection du chemin choisi avec le mur des opérateurs non-surjectifs, voir le §5.2 de [20]. On pose alors

$$F_{(r,r_L)}(\alpha, \beta, \Gamma, \underline{x}, \underline{\xi}, J) = \sum_{C \in \mathcal{R}(\alpha, \beta, \Gamma, \underline{x}, \underline{\xi}, J)} \text{sp}(C) \in \mathbb{Z}.$$

Théorème 3.3 *Soit L une sphère, un tore ou un espace projectif réel de dimension $n = 2$ ou 3 muni d'une métrique à courbure constante. Soient α, β deux suites d'entiers positifs qui s'annulent à partir d'un certain rang. On choisit comme ci-dessus un ensemble Γ de géodésiques fermées et des ensembles $\underline{x}, \underline{\xi}$ de r et r_L points dans L et $T^*L \setminus L$ respectivement de sorte que ces nombres satisfassent (7) dans le cas du tore et (6) sinon. Lorsque $n = 3$, on suppose $r \neq 0$ et lorsque de plus $L \in \{S^3, \mathbb{R}P^3\}$, on suppose que J est invariante par le flot de Reeb pour $\rho \gg 1$. Alors, l'entier $F_{(r,r_L)}(\alpha, \beta, \Gamma, \underline{x}, \underline{\xi}, J)$ défini ci-dessus ne dépend ni du choix des contraintes $\Gamma, \underline{x}, \underline{\xi}$, ni du choix générique de la structure presque-complexe $J \in \mathbb{R}\mathcal{J}_\lambda$.*

Nous n'utiliserons ce Théorème 3.3 que dans le cas de la sphère et du plan projectif réel mais incluons toutefois le cas du tore ou de l'espace projectif de dimension trois puisque la démonstration est analogue. Remarquons que dans le cas de la sphère ou de l'espace projectif réel, $F_{(r,r_L)}(\alpha, \beta)$ n'est autre qu'un invariant réel analogue à celui défini dans [21], [22] relatif à la quadrique imaginaire pure si $L \in \{\mathbb{R}P^2, \mathbb{R}P^3\}$ ou bien relatif à une section hyperplane réelle de la quadrique disjointe de l'ellipsoïde si $L \in \{S^2, S^3\}$. L'existence d'un tel invariant relatif a été indépendamment observée par Cheol-Hyun Cho dans [3]. Le lien entre la théorie des invariants relatifs et le point de vue de la théorie symplectique des champs est développé dans [12].

Démonstration :

On considère l'espace des modules $\mathbb{R}\mathcal{M}_{r,r_L}^v(\Gamma, \underline{x}, \underline{\xi})$ des sphères J -holomorphes réelles d'énergie de Hofer finie proprement immergées dans T^*L ayant $2v$ pointes qui passent par \underline{x} , par chaque paire $\{\xi_i, \bar{\xi}_i\}$ et qui convergent vers les orbites de Reeb relevant les éléments de Γ ainsi que vers β_j autres paires d'orbites, $j \in \mathbb{N}^*$, chacune avec multiplicité j , voir le §3.1.1. Soient $J_0, J_1 \in \mathbb{R}\mathcal{J}_\lambda$ deux structures presque complexes génériques de sorte que $F_{(r,r_L)}(\alpha, \beta, \Gamma, \underline{x}, \underline{\xi}, J_0)$ et $F_{(r,r_L)}(\alpha, \beta, \Gamma, \underline{x}, \underline{\xi}, J_1)$ soient bien définis. Soient $\gamma : [0, 1] \rightarrow \mathbb{R}\mathcal{J}_\lambda$ une homotopie générique reliant J_0 à J_1 , $\mathbb{R}\mathcal{M}_\gamma = \mathbb{R}\mathcal{M}_{r,r_L}^v(\Gamma, \underline{x}, \underline{\xi}) \times_\gamma [0, 1]$ et $\pi_\gamma : \mathbb{R}\mathcal{M}_\gamma \rightarrow [0, 1]$ la projection associée. Supposons pour commencer que $n = 2$. Les seuls points à étudier sont l'absence de compacité de $\mathbb{R}\mathcal{M}_\gamma$ et les points critiques de π_γ . En effet, en dehors de ce nombre fini de valeurs de $[0, 1]$, les seules autres valeurs t où $F_{(r,r_L)}(\alpha, \beta, \Gamma, \underline{x}, \underline{\xi}, J_t)$ n'est pas défini correspondent à des courbes ayant un point triple réel ordinaire ou un point de tangence non-dégénéré, et comme dans [21], l'invariance de $F_{(r,r_L)}(\alpha, \beta, \Gamma, \underline{x}, \underline{\xi}, J_t)$ au passage de ces valeurs

se vérifie facilement. Les points critiques de π_γ correspondent aux courbes ayant un unique point de rebroussement de première espèce ordinaire. En effet, d'après la Proposition 3.2, en un tel point critique l'espace $H_D^0(S; \mathcal{N}_{u, -z})_{+1}$ ne s'annule pas. Or par définition, l'indice total des zéros d'une section du fibré normal à une courbe immergée vaut l'indice de Maslov de cette courbe. Une telle section doit par ailleurs s'annuler en $\underline{x}, \underline{\xi}$ et en les v^- pointes prescrites, ce qui ne se peut pas. Par suite, le générateur de $H_D^0(S; \mathcal{N}_{u, -z})_{+1}$ est forcément de torsion, de sorte que la courbe n'est pas immergée. La généralité de γ assure l'unicité du point de rebroussement et son caractère ordinaire. Ces courbes sont des points critiques non-dégénérés de π_γ qui correspondent à l'apparition ou la disparition de deux courbes dont la masse diffère de un. Nous ne reproduisons pas la démonstration de ces deux faits ici puisqu'elle est strictement analogue à celle de [21]. L'invariance de $F_{(r, r_L)}(\alpha, \beta, \Gamma, \underline{x}, \underline{\xi}, J)$ au passage de telles valeurs critiques t de π_γ en découle. D'après le théorème de compacité en théorie symplectique des champs [2], l'absence de compacité de $\mathbb{R}\mathcal{M}_\gamma$ peut provenir de trois phénomènes, à savoir la dégénérescence d'une suite d'éléments de $\mathbb{R}\mathcal{M}_\gamma$ vers une courbe multiple, réductible ou à plusieurs étages. Supposons pour commencer qu'une telle suite dégénère vers un revêtement l -uple d'une courbe C' de T^*L , $l \geq 2$. Alors, le nombre de pointes de C' est inférieur à celui de C et la somme des multiplicités associées est inférieure au $l^{\text{ème}}$ de celle de C . Par suite, dans le cas d'une sphère, l'espace des modules contenant C' vient avec une projection Fredholm sur $\mathbb{R}\mathcal{J}_\lambda$ dont l'indice est majoré par celui de C qui est nul moins le double de la somme des multiplicités des pointes. De telles courbes multiples ne peuvent apparaître en codimension un. Elles le peuvent dans le cas du plan projectif uniquement lorsque C est un revêtement double d'un cylindre C' sur des orbites de Reeb simples, ramifié en les pointes. Dans ce cas, r vaut un ou trois et la courbe C' a une partie réelle connexe, sans point double et non triviale dans $H_1(\mathbb{R}P^2; \mathbb{Z}/2\mathbb{Z})$. Le complémentaire de ces parties réelles est donc toujours connexe par arc et par suite le complémentaire dans $\mathbb{R}\mathcal{J}_\lambda$ des structures presque-complexes pour lesquelles une courbe multiple satisfait nos conditions d'incidence est lui aussi connexe par arc. Dans le cas du tore enfin, l'espace des modules contenant C' vient avec une projection Fredholm sur $\mathbb{R}\mathcal{J}_\lambda$ dont l'indice est majoré par celui de C qui est nul moins deux sauf si le nombre de pointes de C' est le même que celui de C . Notant v' ce nombre de pointes, la formule de Riemann-Hurwitz impose que l'indice total des points de ramification situés au dessus de ces pointes vaille $(l-1)v'$. Cet indice de ramification étant majoré par $2l-2$, cela force C' et C à être des cylindres et $F_{(r, r_L)}(\alpha, \beta, \Gamma, \underline{x}, \underline{\xi}, J) = 1$. Dans tous les cas, l'éventuelle dégénérescence vers des courbes multiples ne fait pas obstacle à l'invariance de $F_{(r, r_L)}(\alpha, \beta, \Gamma, \underline{x}, \underline{\xi}, J)$. Supposons à présent qu'une telle suite d'éléments de $\mathbb{R}\mathcal{M}_\gamma$ converge vers une courbe J_{t_0} -holomorphe réductible C_{t_0} . La généralité de γ impose alors que cette courbe réductible possède deux composantes irréductibles, toutes deux réelles et que ses points singuliers soient des points doubles ordinaires. De plus, d'après ce que l'on vient de voir, ces composantes doivent être toutes deux simples lorsque L est une sphère ou un plan projectif réel, mais peuvent être des revêtements de cylindres dans le cas du tore. Excluons ce dernier cas pour commencer. Il se produit alors le même phénomène que dans les variétés fermées, voir [21], à savoir que pour toute structure presque-complexe J_t proche de J_{t_0} , à l'exclusion de J_{t_0} , et pour chaque point d'intersection réel p entre les deux composantes irréductibles de C_{t_0} , il y a exactement une courbe J_t -holomorphe dans T^*L satisfaisant nos conditions d'incidence. En effet, s'il y en avait deux, elles s'intersecteraient en chaque point de notre configuration $\underline{x}, \underline{\xi}$, en deux points au voisinage de chaque point double de C_{t_0} autre que p et en $2i$ (resp. $2i-2$) points au voisinage de chaque pointe convergeant vers une orbite de Reeb prescrite (resp. non prescrite) de multiplicité i , ce qui découle du Théorème 1.5 de [6]. D'après le Lemme 1.14 et (6), cela ferait

au total $r + 2r_L + 2k^2 - 4k + 2 + 2k - 2v + 2\#\Gamma = r + 2r_L + 2\#\Gamma + 2k^2 - 2k - 2v + 2 = 2k^2 + 1$ (resp. $r + 2r_L + k^2 - 3k + 2 + 2k - 2v + 2\#\Gamma = r + 2r_L + 2\#\Gamma + k^2 - k - 2v + 2 = k^2 + 1$) dans le cas de la sphère (resp. du plan projectif réel), ce qui ne se peut pas d'après la Remarque 1.15. La contradiction à laquelle nous venons d'aboutir provient du fait que le nombre de points de notre configuration est strictement supérieur à l'indice de Maslov de la courbe C_t calculé dans la Proposition 1.13. Ceci vaut également lorsque L est un tore, de sorte que nous aboutissons à la même conclusion pour peu qu'aucune des composantes de la courbe réductible ne soit multiple. Ainsi, dans tous ces cas, pour toute structure presque-complexe J_t proche de J_{t_0} , à l'exclusion de J_{t_0} , et pour chaque point d'intersection réel p entre les deux composantes irréductibles de C_{t_0} , il y a au plus une courbe J_t -holomorphe dans T^*L satisfaisant nos conditions d'incidence. La démonstration du fait qu'il y a au moins une courbe J_t -holomorphe satisfaisant nos conditions d'incidence est la même que celle de la Proposition 2.14 de [21] et nous ne reproduisons pas ici cet argument local. Si une des deux composantes de la courbe est multiple, on applique le cas précédent au recollé d'un voisinage de la composante simple avec un revêtement d'un voisinage du cylindre multiple, lequel recollé se projette sur un voisinage C_{t_0} dans T^*L , pour aboutir à la même conclusion. On procède de même si les deux composantes sont multiples de sorte que dans tous les cas, l'éventuelle dégénérescence vers des courbes réductibles ne fait pas obstacle à l'invariance de $F_{(r,r_L)}(\alpha, \beta, \Gamma, \underline{x}, \underline{\xi}, J)$. Il reste à étudier la possibilité qu'une suite d'éléments de $\mathbb{R}\mathcal{M}_\gamma$ dégénère vers une courbe à plusieurs étages. Cela ne se produit pas lorsque le chemin γ est choisi de façon suffisamment générale. En effet, soit D_X une composante non-triviale d'un étage $\mathbb{R} \times S^*L$. Le nombre d'orbites de Reeb positives limites de D_X comptées avec multiplicité moins le nombre d'orbite de Reeb négatives comptées avec multiplicité vaut au moins deux (resp. quatre) si L est une sphère (resp. un plan projectif réel), ce qui découle de la positivité de l'aire $\int_{D_X} d\lambda$ et de l'isomorphisme $H_1(S^*L; \mathbb{Z}) \cong \mathbb{Z}/2\mathbb{Z}$ (resp. $H_1(S^*L; \mathbb{Z}) \cong \mathbb{Z}/4\mathbb{Z}$). De même, si L est un tore, le nombre de pointes positives de D_X est strictement plus grand que un. La courbe à plusieurs étages que l'on considère possède une composante réelle dans l'étage T^*L que l'on note D_L . Soit m le nombre de telles composantes non-triviales D_X de $\mathbb{R} \times S^*L$ adjacentes à D_L . D'après les Propositions 1.12 et 1.13, le nombre d'asymptotes non-prescrites de D_L est majoré par $v - \#\Gamma + m$. La dimension virtuelle de l'espace des modules contenant D_L est donc majorée par $2v + \epsilon k - 4m - 1 - r - 2r_L - 2\#\Gamma + 2m$ (resp. $2(v - m) - 1 - r - 2r_L$) si L est une sphère ou un plan projectif réel (resp. si L est un tore). Dans tous les cas cette dimension est inférieure à -2 , ce qu'il fallait démontrer. Ceci achève la démonstration du Théorème 3.3 dans le cas où $n = 2$. Lorsque $n = 3$, le passage par un point critique ou la dégénérescence vers une courbe multiple ou réductible se traite à nouveau de la même manière que dans le cas absolu [22], [20]. Le seul phénomène nouveau à exclure est la dégénérescence vers une courbe à plusieurs étages. Lorsque L est un tore, le nombre de pointes positives de chaque composante D_X est à nouveau strictement plus grand que un ce qui force la dimension virtuelle de l'espace des modules contenant D_L à être majorée par -2 . Lorsque $L \in \{S^3, \mathbb{R}P^3\}$, on a supposé que J est invariante par le flot de Reeb pour $\rho \gg 1$, de sorte que les espaces de modules contenant chaque composante D_X de $S^*L \times \mathbb{R}$ sont munis d'une action de \mathbb{C}^* . Ceci force la dimension virtuelle de l'espace des modules contenant D_L à chuter de deux de sorte que cette dégénérescence en une courbe à plusieurs étages ne peut se produire en codimension un. \square

Remarque 3.4 Lorsque $L \in \{S^3, \mathbb{R}P^3\}$, le Théorème 3.3 utilise une hypothèse qui n'apparaît pas en dimension deux, à savoir que la structure presque-complexe J est invariante

par le flot de Reeb pour $\rho \gg 1$. Cette hypothèse semble nécessaire en général pour la raison suivante. Munissons la symplectisation $\mathbb{R} \times S^*L$ d'une structure presque-complexe asymptotiquement cylindrique générique J . Pour tout k strictement positif, cette symplectisation possède un cylindre J -holomorphe convergent positivement vers une orbite de Reeb revêtue $k + 1$ fois (resp. $k + 2$ fois) et convergeant négativement vers une orbite de Reeb revêtue k fois si L est une sphère (resp. un espace projectif réel) de dimension trois. La dimension attendue d'un tel cylindre vaut huit d'après la Proposition 1.13. Fixons l'orbite de Reeb positive d'un tel cylindre. Sans l'hypothèse d'invariance de J par le flot de Reeb, l'orbite de Reeb négative appartient à un espace de dimension trois d'orbites tandis qu'avec cette condition, elle n'appartient qu'à un espace de dimension deux, puisque l'espace des modules de tels cylindres est muni d'une action de \mathbb{R} par translation dans le premier cas et de \mathbb{C}^* dans le second, lesquelles actions préservent l'évaluation de l'orbite négative dans son espace de dimension quatre d'orbites de Reeb. Par conséquent, au-dessus d'un chemin générique de structures presque-complexes asymptotiquement cylindriques de T^*L , on ne peut éviter que les courbes J -holomorphes rigides d'énergie de Hofer finie ayant une orbite de Reeb prescrite de multiplicité plus grande que deux ou trois, selon que $L = S^3$ ou $\mathbb{R}P^3$, se brisent en courbes à deux étages dont l'étage supérieur possède un tel cylindre non-trivial ainsi que des cylindres triviaux. Le nombre de telles courbes n'est donc pas invariant. Il l'est si l'on se restreint aux structures invariantes par le flot de Reeb à l'infini.

3.1.3 Quelques calculs

L'entier $F_{(r,r_L)}(\alpha, \beta, \Gamma, \underline{x}, \underline{\xi}, J)$ étant indépendant de $\Gamma, \underline{x}, \underline{\xi}, J$ d'après le Théorème 3.3, nous le noterons $F_{(r,r_L)}(\alpha, \beta)$. Afin d'alléger encore cette notation, nous noterons cet entier $F(\alpha, \beta)$ lorsque $r_L = 0$, puisque la valeur de r est alors définie sans ambiguïté par les calculs de dimensions (6) et (7).

Lemme 3.5 *Si L est homéomorphe à une sphère de dimension deux et $r_L = 0$, on a $F(e_1, 0) = F(0, e_1) = 1$, $F(e_2, 0) = 2$, $F(0, e_2) = 8$, $F(2e_1, 0) = 2$, $F(e_1, e_1) = 4$ et $F(0, 2e_1) = 6$.*

Démonstration :

D'après le Lemme 1.14, les cylindres asymptotes à des orbites de Reeb simples sont plongés et il ressort de la Remarque 1.15 que deux tels cylindres s'intersectent en deux points au maximum. Par suite, $F_{(3,0)}(0, e_1) = 1$ et $F_{(1,0)}(e_1, 0) = F_{(1,1)}(0, e_1) = 1$. De même, $F_{(1,1)}(e_2, 0) = 0$ puisqu'en faisant tendre la paire de points complexes conjugués vers l'infini les courbes devraient converger vers des courbes à deux étages non-triviales et n'ayant qu'une orbite double comme limite positive. De telles courbes à deux étages n'existent pas. Pour comparer $F_{(1,1)}(e_2, 0)$ à $F_{(3,0)}(e_2, 0)$, on procède comme au §3 de [21] en faisant tendre la paire de points complexes conjugués vers un point y de L . Il n'y a comme précédemment qu'un seul cylindre asymptote à une orbite double, passant par un point x de L et ayant un point double en y . On montre de la même manière que le Théorème 3.2 de [21] la relation $F_{(3,0)}(e_2, 0) - F_{(1,1)}(e_2, 0) = 2$, d'où on déduit $F_{(3,0)}(e_2, 0) = 2$. On établit de même la relation $F_{(5,0)}(0, e_2) = 2F_{(3+\times,0)}(0, e_2) + F_{(3,1)}(0, e_2)$ où $F_{(3+\times,0)}(0, e_2)$ désigne le nombre algébrique de cylindres J_L -holomorphes réels de T^*L asymptotes à une orbite de Reeb double non prescrite passant par trois points de L et ayant son point double imposé en un quatrième point, voir le §3.1 de [21]. On a $F_{(3,1)}(0, e_2) = 2F_{(3,0)}(e_2, 0) = 4$. De même, $F_{(3+\times,0)}(0, e_2) = F_{(1+\times,1)}(0, e_2) = 2F_{(1+\times,0)}(e_2, 0) = 2$. D'où finalement $F_{(5,0)}(0, e_2) = 4 + 4 = 8$. Enfin,

$F_{(3,0)}(2e_1, 0) = 2F_{(1+\times,0)}(2e_1, 0) + F_{(1,1)}(2e_1, 0) = 2 + 0 = 2$, $F_{(5,0)}(e_1, e_1) = 2F_{(3+\times,0)}(e_1, e_1) + F_{(3,1)}(e_1, e_1) = 2 + F_{(3,0)}(2e_1, 0) = 4$, $F_{(7,0)}(0, 2e_1) = 2F_{(5+\times,0)}(0, 2e_1) + F_{(5,1)}(0, 2e_1) = 2 + F_{(5,0)}(e_1, e_1) = 6$. \square

Lemme 3.6 *Si L est homéomorphe à un plan projectif réel et $r_L = 0$, on a $F(e_1, 0) = F(0, e_1) = F(e_2, 0) = F(2e_1, 0) = F(e_1, e_1) = F(0, 2e_1) = 1$ et $F(0, e_2) = 4$.*

Démonstration :

D'après le Lemme 1.14, les cylindres asymptotes à des orbites de Reeb simples sont plongés et d'après la Remarque 1.15, deux tels cylindres s'intersectent en un point au maximum. Par suite, $F_{(2,0)}(0, e_1) = F_{(0,0)}(e_1, 0) = 1$. De même, des cylindres asymptotes à des orbites de Reeb doubles ou des sphères ayant quatre pointes asymptotes à des orbites de Reeb simples s'intersectent en quatre points au maximum, de sorte que $F_{(1,0)}(e_2, 0) = F_{(1,0)}(2e_1, 0) = F_{(3,0)}(e_1, e_1) = F_{(5,0)}(0, 2e_1) = 1$. Enfin, $F_{(1,1)}(0, e_2) = 2F_{(1,0)}(e_2, 0) = 2$. Lorsque l'on fait converger la paire de points complexes conjugués vers un point y de L , les deux courbes réelles comptées par $F_{(1,1)}(0, e_2)$ convergent vers deux courbes réelles ayant une tangente prescrite en y . En effet, ces dernières ne peuvent converger vers des courbes ayant un point double en y d'après le Lemme 1.14 et le revêtement double du cylindre sur une orbite simple passant par y ne peut se déformer en un cylindre interpolant une paire de points complexes conjugués. Par contre, ce cylindre double se déforme en au moins un cylindre asymptote à une paire d'orbites doubles et passant par trois points de L , de sorte que $F(0, e_2) \geq 4$. Or, le nombre de cylindres complexes de T^*L asymptotes à deux orbites doubles et passant par trois points vaut quatre, ce que l'on obtient en faisant tendre deux points vers l'infini. D'où le résultat. \square

Lemme 3.7 *Si L est homéomorphe à un plan projectif réel et $r_L = 0$, on a $F(e_3, 0) = 2$, $F(0, e_3) = 12$, $F(e_1 + e_2, 0) = 2$, $F(e_1, e_2) = 8$, $F(e_2, e_1) = 4$, $F(0, e_1 + e_2) = 24$, $F(3e_1, 0) = 2$, $F(2e_1, e_1) = 4$, $F(e_1, 2e_1) = 6$ et $F(0, 3e_1) = 8$.*

Démonstration :

On procède comme dans la démonstration du Lemme 3.5. On obtient avec les mêmes notations $F_{(2,0)}(e_3, 0) = 2F_{(\times,0)}(e_3, 0) + F_{(0,1)}(e_3, 0) = 2 + 0 = 2$. De même, $F_{(4,0)}(0, e_3) = 2F_{(2+\times,0)}(0, e_3) + F_{(2,1)}(0, e_3) = 2F_{(2+\times,0)}(0, e_3) + 3F_{(2,0)}(e_3, 0) = 2F_{(2+\times,0)}(0, e_3) + 6$ et $F_{(2+\times,0)}(0, e_3) = F_{(\times,1)}(0, e_3) = 3F_{(\times,0)}(e_3, 0) = 3$, de sorte que $F_{(4,0)}(0, e_3) = 12$. De même, $F_{(2,0)}(e_1 + e_2, 0) = 2F_{(\times,0)}(e_1 + e_2, 0) + F_{(0,1)}(e_1 + e_2, 0) = 2 + 0 = 2$; $F_{(4,0)}(e_1, e_2) = 2F_{(2+\times,0)}(e_1, e_2) + F_{(2,1)}(e_1, e_2) = 2F_{(\times,1)}(e_1, e_2) + 2F_{(2,0)}(e_1 + e_2, 0) = 4F_{(\times,0)}(e_1 + e_2, 0) + 4 = 8$; $F_{(4,0)}(e_2, e_1) = 2F_{(2+\times,0)}(e_2, e_1) + F_{(2,1)}(e_2, e_1) = 2 + F_{(2,0)}(e_1 + e_2, 0) = 4$; $F_{(6,0)}(0, e_1 + e_2) = 2F_{(4+\times,0)}(0, e_1 + e_2) + F_{(4,1)}(0, e_1 + e_2) = 2F_{(2+\times,1)}(0, e_1 + e_2) + F_{(4,0)}(e_1, e_2) + 2F_{(4,0)}(e_2, e_1) = 2F_{(2+\times,0)}(e_1, e_2) + 4F_{(2+\times,0)}(e_2, e_1) + 8 + 8 = 4 + 4 + 16 = 24$. Enfin, $F_{(2,0)}(3e_1, 0) = 2F_{(\times,0)}(3e_1, 0) + F_{(0,1)}(3e_1, 0) = 2 + 0 = 2$; $F_{(4,0)}(2e_1, e_1) = 2F_{(2+\times,0)}(2e_1, e_1) + F_{(2,1)}(2e_1, e_1) = 2 + F_{(2,0)}(3e_1, 0) = 4$; $F_{(6,0)}(e_1, 2e_1) = 2F_{(4+\times,0)}(e_1, 2e_1) + F_{(4,1)}(e_1, 2e_1) = 2 + F_{(4,0)}(2e_1, e_1) = 6$; $F_{(8,0)}(0, 3e_1) = 2F_{(6+\times,0)}(0, 3e_1) + F_{(6,1)}(0, 3e_1) = 2 + F_{(6,0)}(e_1, 2e_1) = 8$. \square

3.2 Calculs dans le plan projectif complexe

3.2.1 Arbres projectifs

Soient r, r_X et d trois entiers naturels satisfaisant la relation $r + 2r_X = 3d - 1$.

Définition 3.8 *Un arbre projectif est un arbre fini connexe dont toutes les arêtes sont étiquetées par des entiers strictement positifs. De plus, un tel arbre possède une racine s_0 et tous les sommets à distance paire de s_0 sont soit monovalents connectés à une arête double, soit bivalents connectés à deux arêtes simples.*

On note \mathcal{B}_r l'ensemble des arbres projectifs qui satisfont

$$\sum_{a \in \mathcal{A}(s_0)} k(a) - 1 \leq r \leq \sum_{a \in \mathcal{A}(s_0)} k(a) - 1 + 2v(s_0) \text{ et } r = \sum_{a \in \mathcal{A}(s_0)} k(a) - 1 \pmod{2},$$

où $v(s)$ désigne la valence d'un sommet s , $\mathcal{A}(s)$ l'ensemble des arêtes adjacentes à s et $k(a)$ désigne la multiplicité de l'arête a . Notons également k_s la somme des multiplicités des arêtes adjacentes au sommet s et k la multiplicité totale de toutes les arêtes de l'arbre. On pose $r_L(s_0) = \frac{1}{2}(\sum_{a \in \mathcal{A}(s_0)} k(a) - 1 + 2v(s_0) - r)$, de sorte que $0 \leq r_L(s_0) \leq v(s_0)$. Enfin, on note S_1 (resp. S_2) l'ensemble des sommets à distance impaire (resp. paire) de s_0 .

Définition 3.9 *Un arbre projectif décoré est un arbre projectif $A \in \mathcal{B}_r$ équipé d'une partition $S_1^+ \sqcup S_1^-$ de l'ensemble des sommets adjacents à s_0 telle que $\#S_1^- = r_L(s_0)$ et $\#S_1^+ = v(s_0) - r_L(s_0)$. Cet arbre est de plus équipé des fonctions :*

- $f_A : S_1 \rightarrow \mathcal{P}(\{1, \dots, r_X\})$ satisfaisant $f_A(s) \cap f_A(s') = \emptyset$ dès que $s \neq s'$ et $\cup_{s \in S_1} f_A(s) = \{1, \dots, r_X\}$.
- $g_A : S_1 \rightarrow \mathbb{N}$ telle que $k + 4 \sum_{s \in S_1} g_A(s) = d$ et pour tout $s \in S_1^+$ (resp. $s \in S_1^-$), $6g_A(s) + k_s + v(s) - 1 = \#f_A(s) + 1$ (resp. $6g_A(s) + k_s + v(s) - 1 = \#f_A(s)$).

On note \mathcal{B}_r^d l'ensemble fini des arbres projectifs décorés. Soit $A \in \mathcal{B}_r^d$, on pose $m_1^-(A) = \prod_{s \in S_1^-} \#\{a \in \mathcal{A}(s) \mid k(a) = k(ss_0)\}$, où $k(ss_0)$ désigne la multiplicité de l'arête reliant s à s_0 . On note de même $m_1^+(A)$ le nombre d'injections $\phi : \{s \in S_1^+ \mid f_A(s) \neq \emptyset\} \rightarrow \mathcal{A}^+(s_0)$ satisfaisant $k(\phi(s)) = k(ss_0)$ pour tous les sommets $s \in S_1^+$, où $\mathcal{A}^+(s_0)$ désigne l'ensemble des arêtes reliant s_0 à un sommet de S_1^+ . Notons enfin S_2^b l'ensemble des sommets bivalents de $S_2 \setminus \{s_0\}$. L'arbre A privé de ces sommets bivalents n'est pas connexe. On note $m_2(A)$ le nombre de façons de reconnecter $A \setminus S_2^b$ de manière à obtenir un arbre isomorphe à A . Posons

$$\text{mult}(A) = 2^{\sum_{s \in S_1^+} \#f_A(s) + \sum_{s \in S_1 \setminus S_1^+} \max(\#f_A(s) - 1, 0) + \#S_2^b} m_1^+(A) m_1^-(A) m_2(A) \prod_a k(a).$$

C'est la *multiplicité* de l'arbre $A \in \mathcal{B}_r^d$.

3.2.2 Relation avec l'invariant relatif

Soit Σ_4 la surface rationnelle réglée de degré quatre, e la classe d'une section holomorphe d'autointersection quatre et f la classe d'une fibre. Étant donnés $a, b \in \mathbb{N}$ et α, β des suites d'entiers positifs, on note $N_4^{ae+bf}(\alpha, \beta)$ le nombre de courbes rationnelles de Σ_4 , homologues à $ae + bf$, ayant $\alpha_i + \beta_i$ points de tangence d'ordre i avec la section exceptionnelle de Σ_4 parmi lesquels α_i sont prescrits et qui passent par le nombre adéquat de points fixés.

Théorème 3.10 *Soit (X, ω, c_X) une variété symplectomorphe au plan projectif complexe et $r, r_X, d \in \mathbb{N}$ satisfaisant la relation $r + 2r_X = 3d - 1$. Alors,*

$$\chi_r^d = \sum_{A \in \mathcal{B}_r^d} (-1)^{\#S_2^+} \text{mult}(A) F_{(r,0)}(\alpha_A^-, \beta_A^+) \prod_{s \in S_1 \setminus S_1^+} N_4^{g_A(s)e+k(s)f}(0, \beta_A) \prod_{s \in S_1^+} N_4^{g_A(s)e+k(s)f}(e_{k(ss_0)}, \beta_A^0),$$

où $(\alpha_A^-)_i$ (resp. $(\beta_A^+)_i$) vaut le nombre d'arêtes de multiplicité i reliant S_1^- (resp. S_1^+) à s_0 , $(\beta_A)_i$ (resp. $(\beta_A^0)_i$) vaut le nombre d'arêtes de multiplicité i adjacentes à s (resp. moins un si l'arête reliant s à s_0 est de multiplicité i) et $F_{(r,0)}(\alpha_A^-, \beta_A^+)$ désigne l'invariant défini dans le fibré cotangent du plan projectif réel au §3.1.2.

Remarque 3.11 Un algorithme permettant le calcul de χ_{3d-1}^d a déjà été proposé par G. Mikhalkin dans [13] et étendu par E. Shustin dans [15] aux autres invariants χ_r^d , $0 \leq r \leq 3d - 1$. Par ailleurs, I. Itenberg, V. Kharlamov et E. Shustin [10] ont adapté la formule de récurrence [5] au cas réel et ainsi déduit une formule calculant l'invariant χ_{3d-1}^d en fonction d'invariants relatifs tropicaux dans les surfaces de Del Pezzo toriques réelles. J'avais introduit des invariants relatifs réels par rapport à une courbe réelle ayant une partie réelle non-vide dans [23]. Les formules apparaissant dans les Théorèmes 3.10, 3.16 et 3.22 calculent χ_r^d en fonction d'invariants relatifs à un diviseur réel ayant une partie réelle vide ; il serait intéressant de calculer ces invariants $F_{(r,r_L)}(\alpha, \beta)$ et de déterminer exactement dans quelles situations l'expression de χ_r^d en fonction de tels invariants relatifs à un diviseur réel de partie réelle vide permet le calcul effectif de χ_r^d . Lorsque $r \leq 2$, ces invariants $F_{(r,r_L)}(\alpha, \beta)$ sont calculés au §3.1.3 tandis que $N_4^{ae+bf}(\alpha, \beta)$ est calculé dans [18], de sorte que le Théorème 3.10 permet le calcul effectif de χ_r^d , voir le Corollaire 3.12 pour les premières valeurs de cet invariant.

Démonstration du Théorème 3.10 :

On poursuit la stratégie générale énoncée au § 1.1.2 en allongeant le cou d'une structure presque complexe générique jusqu'à briser la variété en deux morceaux $T^*\mathbb{R}P^2$ et $\mathbb{C}P^2 \setminus \mathbb{R}P^2$. Les courbes J -holomorphes rationnelles réelles comptées par χ_r^d se brisent en courbes à deux étages interpolant r points de $\mathbb{R}P^2$ et r_X paires de points complexes conjugués de $\mathbb{C}P^2 \setminus \mathbb{R}P^2$. Il est apparu au cours de la démonstration du Théorème 2.3 que ces courbes à deux étages sont codées par les arbres projectifs décorés $A \in \mathcal{B}_r^d$. Il s'agit donc de dénombrer les courbes à deux étages qui sont codées par un arbre donné $A \in \mathcal{B}_r^d$, puis de dénombrer les courbes J -holomorphes rationnelles réelles comptées par χ_r^d qui dégénèrent sur une courbe à deux étages donnée. Le nombre de façons de répartir les points complexes conjugués parmi les composantes de la courbe à deux étages qui se trouvent dans $\mathbb{C}P^2 \setminus \mathbb{R}P^2$ a été calculé dans la démonstration du Théorème 2.3 et vaut $2^{\sum_{s \in S_1^+} \#f_A(s) + \sum_{s \in S_1 \setminus S_1^+} \max(\#f_A(s) - 1, 0)}$. Les composantes codées par $S_1 \setminus S_1^+$ sont rigides avec leurs conditions d'incidence, il y en a $\prod_{s \in S_1 \setminus S_1^+} N_4^{g_A(s)e+k(s)f}(0, \beta_A)$. Puis, il y a $m_1^-(A)$ façons de choisir les orbites de Reeb prescrites de la courbe codée par s_0 . Le nombre de courbes réelles codées par s_0 satisfaisant nos conditions d'incidence et comptées avec signe vaut $F_{(r,0)}(\alpha_A^-, \beta_A^+)$. Il y a alors $m_1^+(A)$ façons de choisir la manière de connecter les courbes codées par S_1^+ aux orbites de Reeb restées libres de la courbe codée par s_0 . Il y a enfin $2^{\#S_2^b} m_2(A)$ façons de connecter ces composantes entre elles par des paires de cylindres complexes conjugués de $T^*\mathbb{R}P^2$ codés par les sommets bivaleents de S_2^b . Ceci fournit $2^{\sum_{s \in S_1^+} \#f_A(s) + \sum_{s \in S_1 \setminus S_1^+} \max(\#f_A(s) - 1, 0) + \#S_2^b} m_1^+ m_1^- m_2 F_{(r,0)}(\alpha_A^-, \beta_A^+)$ $\prod_{s \in S_1 \setminus S_1^+} N_4^{g_A(s)e+k(s)f}(0, \beta_A) \prod_{s \in S_1^+} N_4^{g_A(s)e+k(s)f}(k(ss_0), \beta_A^0)$ courbes codées par un arbre donné $A \in \mathcal{B}_r^d$. Or, d'après le théorème de recollement de théorie symplectique des champs [1], il y a $\prod_a k(a)$ courbes J -holomorphes rationnelles réelles comptées par χ_r^d qui dégénèrent sur une courbe à deux étages donnée. Le résultat découle à présent du fait que chaque courbe codée par $S_2 \setminus \{s_0\}$ intersecte $\mathbb{R}P^2$ en un point et contribue donc à la masse des courbes J -holomorphes rationnelles réelles en question, d'où le signe $(-1)^{\#S_2+1}$. \square

Corollaire 3.12 Soit (X, ω, c_X) une variété symplectomorphe au plan projectif complexe. Alors, $\chi^4(T) = o(T^2)$, $\chi^5(T) = 64 + 64T^2 + o(T^3)$, $\chi^6(T) = 1024T + 1536T^3 + o(T^4)$, $\chi^7(T) = -14336 + 11776T^2 + o(T^3)$ et $\chi^8(T) = -280576T + o(T^2)$.

Remarque 3.13 Les valeurs $\chi_1^4 = 0$, $\chi_0^5 = \chi_2^5 = 64$ ont déjà été obtenues dans [9] à l'aide d'un ordinateur et de l'algorithme [15].

Démonstration du Corollaire 3.12 :

L'annulation de χ_1^4 tient au fait que l'ensemble d'arbres B_1^4 est vide. Les arbres intervenant dans la démonstration de ce Corollaire 3.12 sont représentés dans la Figure 3.2.1. Lorsque $d = 5$ et $r \leq 2$, un seul arbre décoré intervient. Le Théorème 3.10 fournit $\chi_0^5 = 2^6 F(e_1, 0)N^{e+f}(0, e_1) = 64$ et $\chi_2^5 = 2^6 F(0, e_1)N^{e+f}(e_1, 0) = 64$. Lorsque $d = 6$ et $r = 1$, deux arbres projectifs décorés interviennent qui sont représentés par la Figure 3.2.1. La contribution du premier vaut $C_8^1 2^6 F(2e_1, 0)N^{e+f}(0, e_1) = 512$ et celle du second donné par cette figure vaut $2^7 2F(e_2, 0)N^{e+2f}(0, e_2) = 2^9 N^{e+2f}(e_2, 0) = 512$, voir le Lemme 3.6, de sorte que $\chi_1^6 = 1024$. Lorsque $d = 6$ et $r = 3$, les arbres intervenant sont les mêmes. Toutefois, la fonction f_A du premier arbre peut affecter soit six, soit sept paires de points complexes conjugués au sommet $e + f$. Dans le premier cas, l'arbre contribue à hauteur de $C_7^1 2^6 F(e_1, e_1)N^f(0, e_1)N^{e+f}(e_1, 0) = 448$; dans le second, il contribue à hauteur de $2^6 F(e_1, e_1)N^f(e_1, 0)N^{e+f}(0, e_1) = 64$, soit une contribution totale de 512. La contribution du second arbre vaut $2^7 2F(0, e_2)N^{e+2f}(e_2, 0) = 2^{10}$, de sorte que $\chi_3^6 = 1536$. Lorsque $d = 7$ et $r = 0$, deux arbres contribuent. Le premier donné par la Figure 3.2.1 contribue à hauteur de $-C_{10}^1 2^9 2F(e_1, 0)N^{e+2f}(0, 2e_1) = -10240$ tandis que le second contribue à hauteur de $-2^9 2F(e_1, 0)N^{e+3f}(0, e_1 + e_2)$. Or $N^{e+3f}(0, e_1 + e_2) = N^{e+3f}(e_1, e_2) + 2N^{e+3f}(e_2, e_1) = 4N^{e+3f}(e_1 + e_2, 0) = 4$, de sorte que finalement $\chi_0^7 = -10240 - 4096 = -14336$. Lorsque $d = 7$ et $r = 2$, cinq arbres contribuent. La contribution du premier arbre donné par la Figure 3.2.1 vaut $C_9^2 2^6 F(3e_1, 0)N^{e+f}(0, e_1) = 4608$. La contribution du deuxième arbre vaut $C_9^1 2^7 2F(e_1 + e_2, 0)N^{e+2f}(0, e_2) = 92^9 2N^{e+2f}(e_2, 0) = 9216$. La contribution du troisième arbre vaut $2^8 3F(e_3, 0)N^{e+3f}(0, e_3) = 92^9 N^{e+3f}(e_3, 0) = 4608$. La contribution du quatrième arbre vaut $-C_9^1 2^9 F(0, e_1)N^{e+2f}(e_1, e_1)N^f(0, e_1) = -4608$. Enfin, la contribution du cinquième arbre vaut $-2^9 2F(0, e_1)N^{e+3f}(e_1, e_2) = -2^{11} N^{e+3f}(e_1 + e_2, 0) = -2048$. On en déduit $\chi_2^7 = 4608 + 9216 + 4608 - 4608 - 2048 = 11776$. Lorsque $d = 8$ et $r = 1$, quatre arbres projectifs décorés contribuent. La contribution du premier arbre donné par la Figure 3.2.1 vaut $-2C_{11}^2 2^9 2F(2e_1, 0)N^{e+2f}(0, 2e_1)N^f(0, e_1)^2 = -112640$. La contribution du deuxième arbre vaut $-C_{11}^1 2^9 2F(2e_1, 0)N^{e+3f}(0, e_1 + e_2)N^f(0, e_1) = -45056$. La contribution du troisième arbre vaut $-C_{11}^1 2^{10} 2F(e_2, 0)N^{e+3f}(0, e_1 + e_2)N^f(0, e_1) = -90112$. Enfin, la contribution du quatrième arbre vaut $-22^{10} 2^2 F(e_2, 0)N^{e+4f}(0, 2e_2) = -2^{15} N^{e+4f}(2e_2, 0) = -32768$. On en conclut $\chi_1^8 = -112640 - 45056 - 90112 - 32768 = -280576$. \square

3.3 Calculs dans l'ellipsoïde de dimension deux

3.3.1 Arbres deux-sphériques

Soient r, r_X et d trois entiers naturels satisfaisant la relation $r + 2r_X = 4d - 1$, laquelle impose que r soit impair.

Définition 3.14 Un arbre deux-sphérique est un arbre fini connexe dont toutes les arêtes sont étiquetées par des entiers strictement positifs. De plus, un tel arbre possède une racine s_0 et tous les sommets à distance paire de s_0 sont monovalents connectés à une arête simple.

En particulier, la distance d'un sommet à s_0 est majorée par deux et seules les arêtes connectées à s_0 peuvent avoir une multiplicité non-triviale. On note \mathcal{A}_r l'ensemble des arbres deux-sphériques qui satisfont

$$2 \sum_{a \in \mathcal{A}(s_0)} k(a) - 1 \leq r \leq 2 \sum_{a \in \mathcal{A}(s_0)} k(a) - 1 + 2v(s_0),$$

où $v(s)$ désigne la valence d'un sommet s , $\mathcal{A}(s)$ l'ensemble des arêtes adjacentes à s et $k(a)$ désigne la multiplicité de l'arête a . Notons également k_s la somme des multiplicités des arêtes adjacentes au sommet s et k la multiplicité totale de toutes les arêtes de l'arbre. On pose $r_L(s_0) = \frac{1}{2}(2 \sum_{a \in \mathcal{A}(s_0)} k(a) - 1 + 2v(s_0) - r)$, de sorte que $0 \leq r_L(s_0) \leq v(s_0)$. Enfin, on note S_1 (resp. S_2) l'ensemble des sommets à distance impaire (resp. paire) de s_0 .

Définition 3.15 *Un arbre deux-sphérique décoré est un arbre deux-sphérique $A \in \mathcal{A}_r$ équipé d'une partition $S_1^+ \sqcup S_1^-$ de l'ensemble des sommets adjacents à s_0 telle que $\#S_1^- = r_L(s_0)$ et $\#S_1^+ = v(s_0) - r_L(s_0)$. Cet arbre est de plus équipé des fonctions :*

- $f_A : S_1 \rightarrow \mathcal{P}(\{1, \dots, r_X\})$ satisfaisant $f_A(s) \cap f_A(s') = \emptyset$ dès que $s \neq s'$ et $\cup_{s \in S_1} f_A(s) = \{1, \dots, r_X\}$.
- $g_A : S_1 \rightarrow \mathbb{N}$ telle que $k + 2 \sum_{s \in S_1} g_A(s) = d$ et pour tout $s \in S_1^+$ (resp. $s \in S_1^-$), $4g_A(s) + k_s + v(s) - 1 = \#f_A(s) + 1$ (resp. $4g_A(s) + k_s + v(s) - 1 = \#f_A(s)$).

On note \mathcal{A}_r^d l'ensemble des arbres deux-sphériques décorés, c'est un ensemble fini. Soit $A \in \mathcal{A}_r^d$, on pose $m_1^-(A) = \prod_{s \in S_1^-} \#\{a \in \mathcal{A}(s) \mid k(a) = k(ss_0)\}$, où $k(ss_0)$ désigne la multiplicité de l'arête reliant s à s_0 , de sorte que chaque terme du produit vaille un ou $v(s)$. On note de même $m_1^+(A)$ le nombre d'injections $\phi : \{s \in S_1^+ \mid f_A(s) \neq \emptyset\} \rightarrow \mathcal{A}^+(s_0)$ satisfaisant $k(\phi(s)) = k(ss_0)$ pour tous les sommets $s \in S_1^+$. On pose alors

$$\text{mult}(A) = 2^{\sum_{s \in S_1^+} \#f_A(s) + \sum_{s \in S_1 \setminus S_1^+} \max(\#f_A(s) - 1, 0) + \#S_2 - 1} m_1^+(A) m_1^-(A) \prod_a k(a),$$

c'est la *multiplicité* de l'arbre $A \in \mathcal{A}_r^d$.

3.3.2 Relation avec l'invariant relatif

Soit Σ_2 la surface rationnelle réglée de degré deux, e la classe d'une section holomorphe d'autointersection deux et f la classe d'une fibre. Étant donné $a, b \in \mathbb{N}$ et α, β des suites d'entiers positifs, on note $N_2^{ae+bf}(\alpha, \beta)$ le nombre de courbes rationnelles de Σ_2 , homologues à $ae + bf$, ayant $\alpha_i + \beta_i$ points de tangence d'ordre i avec la section exceptionnelle de Σ_2 parmi lesquels α_i sont prescrits et qui passent par le nombre adéquat de points fixés.

Théorème 3.16 *Soit (X, ω, c_X) une variété symplectomorphe à la quadrique ellipsoïde de dimension deux, $r, r_X, d \in \mathbb{N}$ satisfaisant la relation $r + 2r_X = 4d - 1$ et h la classe d'une section plane réelle de bidegré $(1, 1)$. Alors,*

$$\chi_r^{dh} = \sum_{A \in \mathcal{A}_r^d} (-1)^{\#S_2 + 1} \text{mult}(A) F_{(r,0)}(\alpha_A^-, \beta_A^+) \prod_{s \in S_1 \setminus S_1^+} N_2^{g_A(s)e + k(s)f}(0, \beta_A) \prod_{s \in S_1^+} N_2^{g_A(s)e + k(s)f}(e_{k(ss_0)}, \beta_A^0),$$

où $(\alpha_A^-)_i$ (resp. $(\beta_A^+)_i$) vaut le nombre d'arêtes de multiplicité i reliant S_1^- (resp. S_1^+) à s_0 , $(\beta_A)_i$ (resp. $(\beta_A^0)_i$) vaut le nombre d'arêtes de multiplicité i adjacentes à s (resp. moins un si l'arête reliant s à s_0 est de multiplicité i) et $F_{(r,0)}(\alpha_A^-, \beta_A^+)$ désigne l'invariant défini dans le fibré cotangent de la sphère de dimension deux au §3.1.2.

Remarque 3.17 Un algorithme permettant le calcul de χ_r^d , $1 \leq r \leq 4d - 1$, est proposé par E. Shustin dans [16]. Remarquons que cet invariant χ_r^d peut se définir purement en termes de fractions rationnelles complexes. Lorsque $r = 4d - 1$ par exemple, il compte algébriquement le nombre de fractions rationnelles $u = P/Q$, $P, Q \in \mathbb{C}[X]$ de degrés d , modulo reparamétrage par les homographies réelles de $PGL_2(\mathbb{R})$, telles que l'image $u(\mathbb{R}P^1)$ interpole un ensemble donné générique de $4d - 1$ points de la sphère de Riemann. Le signe en fonction duquel il convient de compter ces fractions rationnelles u est pair si u possède un nombre pair de points critiques dans chaque hémisphère $\mathbb{C}P^1 \setminus \mathbb{R}P^1$ et impair sinon. Il serait intéressant d'étudier cet invariant à l'aide de la théorie des fractions rationnelles (un problème que j'avais proposé au MSRI au printemps 2004 lors d'une séance de problèmes ouverts).

Démonstration du Théorème 3.16 :

On poursuit la stratégie générale énoncée au § 1.1.2 en allongeant le cou d'une structure presque complexe générique jusqu'à briser la variété en deux morceaux T^*S^2 et $X \setminus S^2$. Les courbes J -holomorphes rationnelles réelles comptées par χ_r^d se brisent en courbes à deux étages interpolant r points de S^2 et r_X paires de points complexes conjugués de $X \setminus S^2$. Il est apparu au cours de la démonstration du Théorème 2.1 que ces courbes à deux étages sont codées par les arbres deux-sphériques décorés $A \in \mathcal{A}_r^d$. Il s'agit donc de dénombrer les courbes à deux étages qui sont codées par un arbre donné $A \in \mathcal{A}_r^d$, puis de dénombrer les courbes J -holomorphes rationnelles réelles comptées par χ_r^d qui dégénèrent sur une courbe à deux étages donnée. Le nombre de façons de répartir les points complexes conjugués parmi les composantes de la courbe à deux étages qui se trouvent dans $X \setminus S^2$ a été calculé dans la démonstration du Théorème 2.1 et vaut $2^{\sum_{s \in S_1^+} \#f_A(s) + \sum_{s \in S_1 \setminus S_1^+} \max(\#f_A(s) - 1, 0)}$. Les composantes codées par $S_1 \setminus S_1^+$ sont rigides avec leurs conditions d'incidence, il y en a $\prod_{s \in S_1 \setminus S_1^+} N_2^{g_A(s)e+k(s)f}(0, \beta_A)$. Puis, il y a $m_1^-(A)$ façons de choisir les orbites de Reeb prescrites de la courbe codée par s_0 . Le nombre de courbes réelles codées par s_0 satisfaisant nos conditions d'incidence et comptées avec signe vaut $F_{(r,0)}(\alpha_A^-, \beta_A^+)$. Il y a alors $m_1^+(A)$ façons de choisir la manière de connecter les courbes codées par S_1^+ aux orbites de Reeb restées libres de la courbe codée par s_0 . Enfin, chaque sommet de S_2 autre que s_0 code un plan J -holomorphe de T^*S^2 asymptote à une orbite de Reeb simple. Il y a deux tels plans pour une structure presque complexe générique J de T^*S^2 qui sont les deux relevés du plan de $T^*\mathbb{R}P^2$ asymptote à une orbite de Reeb double et se compactifient en les deux droites de la quadrique complexe passant par un point donné. Il y a donc $2^{\#S_2-1}$ façons de choisir les plans codés par les éléments de $S_2 \setminus \{s_0\}$. Ceci fournit $2^{\sum_{s \in S_1^+} \#f_A(s) + \sum_{s \in S_1 \setminus S_1^+} \max(\#f_A(s) - 1, 0) + \#S_2 - 1} m_1^+(A)m_1^-(A)F_{(r,0)}(\alpha_A^-, \beta_A^+)$ courbes codées par un arbre donné $A \in \mathcal{A}_r^d$. Or, d'après le théorème de recollement de théorie symplectique des champs [1], il y a $\prod_a k(a)$ courbes J -holomorphes rationnelles réelles comptées par χ_r^d qui dégénèrent sur une courbe à deux étages donnée. Le résultat découle à présent du fait que chaque plan codé par $S_2 \setminus \{s_0\}$ intersecte S^2 en un point et contribue donc à la masse des courbes J -holomorphes rationnelles réelles en question, d'où le signe $(-1)^{\#S_2+1}$. \square

Corollaire 3.18 Soit (X, ω, c_X) une variété symplectomorphe à la quadrique ellipsoïde de dimension deux. On note h la classe d'une section plane réelle de bidegré $(1, 1)$. Alors, $\chi^{2h}(T) = 2T^3 + 4T^5 + 6T^7$, $\chi^{3h}(T) = 16T + 16T^2 + o(T^3)$, $\chi^{4h}(T) = -256T + 320T^3 + o(T^4)$ et $\chi^{5h}(T) = 26880T + o(T^2)$.

Remarque 3.19 Les valeurs χ_1^{4h} , χ_3^{4h} et χ_1^{5h} énoncées dans la Proposition 2.3 de [24] sont incorrectes et corrigées ici, note [24] qui fut d'ailleurs soumise en l'état en janvier et non décembre 2006.

Démonstration du Corollaire 3.18 :

Le calcul de $\chi^{2h}(T)$ découle immédiatement du Lemme 3.5, puisque les seules composantes de $X \setminus L$ apparaissant sont des fibres. Les arbres intervenant dans la démonstration de ce Corollaire 3.18 sont représentés dans la Figure 3.3.1. Lorsque $d = 3$ et $r \leq 3$, un seul arbre décoré intervient. Le Théorème 3.10 fournit $\chi_1^{3h} = 2^4 F(e_1, 0) N^{e+f}(0, e_1) = 16$ et $\chi_3^{3h} = 2^4 F(0, e_1) N^{e+f}(e_1, 0) = 16$. Lorsque $d = 4$ et $r = 1$, un seul arbre deux-sphérique décoré A intervient dans le calcul de χ_r^{dh} . On obtient $\chi_1^{4h} = -2^7 2F(e_1, 0) N^{e+2f}(0, 2e_1) = -256$, puisque $m_1^-(A) = 2$. L'ensemble \mathcal{A}_3^{4h} contient quant à lui trois arbres deux-sphériques décorés. La contribution du premier arbre donné par la Figure 3.3.1 vaut $C_6^1 2^4 F(2e_1, 0) N^f(0, e_1) N^{e+f}(0, e_1) = 192$ puisqu'il y a C_6^1 façons de choisir la fonction f_A ; celle du second vaut $2^5 2F(e_2, 0) N^{e+2f}(0, e_2) = 2^8 N^{e+2f}(e_2, 0) = 256$ et celle du troisième $-2^7 F(0, e_1) N^{e+2f}(e_1, e_1) = -128$, de sorte que $\chi_3^{4h} = 192 + 256 - 128 = 320$. L'ensemble \mathcal{A}_1^{5h} contient deux arbres deux-sphériques décorés. La contribution du premier arbre donné par la Figure 3.3.1 vaut $2^8 F(e_1, 0) N^{2e+f}(0, e_1) = 2^8 93$, puisque d'après le Théorème 6.8 de [18], $N^{2e+f}(0, e_1) = 93$. La contribution du deuxième arbre vaut $2^{10} 3F(e_1, 0) N^{e+3f}(0, 3e_1) = 3072$, de sorte que $\chi_1^{5h} = 23808 + 3072 = 26880$. \square

3.4 Calculs dans l'ellipsoïde de dimension trois

3.4.1 Arbres trois-sphériques

Soient r, r_X et d trois entiers naturels satisfaisant la relation $2r + 4r_X = 3d$, laquelle impose que d soit pair.

Définition 3.20 *Un arbre trois-sphérique est un arbre connexe fini dont toutes les arêtes sont étiquetées par des entiers strictement positifs. De plus, un tel arbre possède une racine s_0 et tous les sommets qui lui sont adjacents sont monovalents.*

En particulier, la distance maximale d'un sommet à s_0 vaut un. On note \mathcal{C}_r l'ensemble des arbres trois-sphériques qui satisfont

$$4 \sum_{a \in \mathcal{A}(s_0)} k(a) - 2v(s_0) \leq 2r \leq 4 \sum_{a \in \mathcal{A}(s_0)} k(a) + 2v(s_0) \text{ et } r = v(s_0) \pmod{2},$$

où $v(s)$ désigne la valence d'un sommet s , $\mathcal{A}(s)$ l'ensemble des arêtes adjacentes à s et $k(a)$ désigne la multiplicité de l'arête a . Notons également k_s la somme des multiplicités des arêtes adjacentes au sommet s et k la multiplicité totale de toutes les arêtes de l'arbre. On pose $r_L(s_0) = \frac{1}{4}(4 \sum_{a \in \mathcal{A}(s_0)} k(a) + 2v(s_0) - 2r)$, de sorte que $0 \leq r_L(s_0) \leq v(s_0)$. Enfin, on note S_1 l'ensemble des sommets adjacents à s_0 .

Définition 3.21 *Un arbre trois-sphérique décoré est un arbre trois-sphérique $A \in \mathcal{C}_r$ équipé d'une partition $S_1^+ \sqcup S_1^-$ de l'ensemble des sommets adjacents à s_0 telle que $\#S_1^- = r_L(s_0)$ et $\#S_1^+ = v(s_0) - r_L(s_0)$. Cet arbre est de plus équipé des fonctions :*

- $f_A : S_1 \rightarrow \mathcal{P}(\{1, \dots, r_X\})$ satisfaisant $f_A(s) \cap f_A(s') = \emptyset$ dès que $s \neq s'$ et $\cup_{s \in S_1} f_A(s) = \{1, \dots, r_X\}$.

- $g_A : S_1 \rightarrow \mathbb{N}$ telle que $2k + 2 \sum_{s \in S_1^+} g_A(s) = d$ et pour tout $s \in S_1^+$ (resp. $s \in S_1^-$), $3g_A(s) + k_s + 1 = 2\#f_A(s) + 2$ (resp. $3g_A(s) + k_s + 1 = 2\#f_A(s)$).

On note \mathcal{C}_r^d l'ensemble des arbres trois-sphériques décorés, c'est un ensemble fini. Soit $A \in \mathcal{C}_r^d$, on pose $m_1^+(A)$ le nombre d'injections $\phi : \{s \in S_1^+ \mid f_A(s) \neq \emptyset\} \rightarrow \mathcal{A}^+(s_0)$ satisfaisant $k(\phi(s)) = k(ss_0)$ pour tous les sommets $s \in S_1^+$. On pose alors

$$\text{mult}(A) = 2^{\sum_{s \in S_1^+} \#f_A(s) + \sum_{s \in S_1^-} \max(\#f_A(s) - 1, 0)} m_1^+(A) \prod_a k(a),$$

c'est la *multiplicité* de l'arbre trois-sphérique $A \in \mathcal{C}_r^d$.

3.4.2 Relation avec l'invariant relatif

Soit Y la variété réglée $P(\mathcal{O}_Q(1, 1) \oplus \mathcal{O}_Q)$ sur la quadrique de dimension deux Q et f la classe d'une fibre de Y . Étant donné $a, b, c \in \mathbb{N}$ et α, β des suites d'entiers positifs, on note $N_3^{(a,b)+cf}(\alpha, \beta)$ le nombre de courbes rationnelles de Y , homologues à $(a, b) + cf$, ayant $\alpha_i + \beta_i$ points de tangence d'ordre i avec la section exceptionnelle $P(\mathcal{O}_Q)$ de Y parmi lesquels α_i sont prescrits et qui passent par le nombre adéquat de points fixés.

Théorème 3.22 *Soient (X, ω, c_X) une variété symplectomorphe à la quadrique ellipsoïde de dimension trois et $r, r_X, d \in \mathbb{N}$ satisfaisant la relation $2r + 4r_X = 3d$. Alors,*

$$\chi_r^d = \sum_{A \in \mathcal{C}_r^d} \text{mult}(A) F_{(r,0)}(\alpha_A^-, \beta_A^+) \prod_{s \in S_1^-} \sum_{a+b=g_A(s)} N_3^{(a,b)+k_s f}(0, e_{k_s}) \prod_{s \in S_1^+} \sum_{a+b=g_A(s)} N_3^{(a,b)+k_s f}(e_{k_s}, 0),$$

où $(\alpha_A^-)_i$ (resp. $(\beta_A^+)_i$) vaut le nombre d'arêtes de multiplicité i reliant S_1^- (resp. S_1^+) à s_0 et $F_{(r,0)}(\alpha_A^-, \beta_A^+)$ désigne l'invariant défini dans le fibré cotangent de la sphère de dimension trois au §3.1.2.

Démonstration :

On poursuit la stratégie générale énoncée au § 1.1.2 en allongeant le cou d'une structure presque complexe générique jusqu'à briser la variété en deux morceaux T^*S^3 et $X \setminus S^3$. Les courbes J -holomorphes rationnelles réelles comptées par χ_r^d se brisent en courbes à deux étages interpolant r points de S^3 et r_X paires de points complexes conjugués de $X \setminus S^3$. Il est apparu au cours de la démonstration du Théorème 2.2 que ces courbes à deux étages sont codées par les arbres trois-sphériques décorés $A \in \mathcal{C}_r^d$. Il s'agit donc de dénombrer les courbes à deux étages qui sont codées par un arbre donné $A \in \mathcal{C}_r^d$, puis de dénombrer les courbes J -holomorphes rationnelles réelles comptées par χ_r^d qui dégénèrent sur une courbe à deux étages donnée. Le nombre de façons de répartir les points complexes conjugués parmi les composantes de la courbe à deux étages qui se trouvent dans $X \setminus S^3$ a été calculé dans la démonstration du Théorème 2.2 et vaut $2^{\sum_{s \in S_1^+} \#f_A(s) + \sum_{s \in S_1^-} \max(\#f_A(s) - 1, 0)}$. Les composantes codées par S_1^- sont rigides avec leurs conditions d'incidence, il y en a $\prod_{s \in S_1^-} \sum_{a+b=g_A(s)} N_3^{(a,b)+k_s f}(0, k_s)$. Le nombre de courbes réelles codées par s_0 satisfaisant nos conditions d'incidence et comptées avec signe vaut $F_{(r,0)}(\alpha_A^-, \beta_A^+)$. Il y a alors $m_1^+(A)$ façons de choisir la manière de connecter les courbes codées par S_1^+ aux orbites de Reeb restées libres de la courbe codée par s_0 . Ceci fournit $2^{\sum_{s \in S_1^+} \#f_A(s) + \sum_{s \in S_1^-} \max(\#f_A(s) - 1, 0)} m_1^+(A) F_{(r,0)}(\alpha_A^-, \beta_A^+) \prod_{s \in S_1^-} \sum_{a+b=g_A(s)} N_3^{(a,b)+k_s f}(0, k_s)$

$\prod_{s \in S_1^+} \sum_{a+b=g_A(s)} N_3^{(a,b)+k_s f}(k_s, 0)$ courbes codées par un arbre donné $A \in \mathcal{C}_r^d$. Or, d'après le théorème de recollement de théorie symplectique des champs [1], il y a $\prod_a k(a)$ courbes J -holomorphes rationnelles réelles comptées par χ_r^d qui dégénèrent sur une courbe à deux étages donnée. Le résultat en découle. \square

Corollaire 3.23 *Soit (X, ω, c_X) une variété symplectomorphe à la quadrique ellipsoïde de dimension trois. Alors, $\chi_1^2 = -1$, $\chi_1^6 = 0$ et $\chi_1^{10} = -896$.*

Remarque 3.24 L'invariant χ_0^{Ak} , $k \in \mathbb{N}$, n'est pas défini. Toutefois, d'après le Théorème 1.7, lorsque les points complexes conjugués sont suffisamment proches d'une section hyperplane réelle disjointe du lieu réel de X , il n'y a aucune courbe rationnelle réelle ayant une partie réelle non-vide qui satisfait nos conditions d'incidence. Remarquons aussi que l'invariant défini dans [22], [20] a été étendu aux variétés symplectiques réelles de dimension six non fortement semi-positives dans [17] (voir aussi [3]) et calculé dans le cas des quintiques réelles de $\mathbb{C}P^4$ dans [14].

Démonstration du Corollaire 3.23 :

Il n'y a qu'une seule section plane de X qui passe par trois points. De plus, l'état spinoriel de cette conique vaut -1 , de sorte que $\chi_1^2 = -1$. En effet, l'état spinoriel d'une conique dans une quadrique de dimension deux vaut -1 et le fibré normal d'une section hyperplane réelle de X est trivial en restriction à sa partie réelle. L'annulation de χ_1^6 tient au fait qu'il n'y a pas de courbe rationnelle de bidegré (a, b) qui passe par quatre points dans la quadrique de dimension deux. Enfin, l'ensemble \mathcal{C}_1^{10} ne contient qu'un seul arbre qui n'a que deux sommets, est de multiplicité 2^6 , pour lequel S_1^+ est vide et $F(\alpha_A^-, \beta_A^+) = -1$ d'après ce qui précède. Par sept point de la quadrique Q de dimension deux, il passe douze courbes rationnelles de bidegré $(2, 2)$, une courbe de bidegré $(3, 1)$ et une de bidegré $(1, 3)$. La restriction du réglage $Y \rightarrow Q$ à ces courbes est isomorphe à la surface réglée rationnelle de degré quatre Σ_4 . Par sept points de Σ_4 , il ne passe qu'une seule courbe rationnelle homologue à $e + f$. On en déduit que $N_3^{(3,1)+f}(0, e_1) = N_3^{(1,3)+f}(0, e_1) = 1$ et $N_3^{(2,2)+f}(0, e_1) = 12$. D'où $\chi_1^{10} = -896$. \square

Références

- [1] F. Bourgeois. A Morse-Bott approach to Contact Homology. *Ph.D dissertation, Stanford University*, 2002.
- [2] F. Bourgeois, Y. Eliashberg, H. Hofer, K. Wysocki, and E. Zehnder. Compactness results in symplectic field theory. *Geom. Topol.*, 7 :799–888 (electronic), 2003.
- [3] C.-H. Cho. Counting real J -holomorphic disks and spheres in dimension four and six. *Prépublication math.SG/0604501*, 2006.
- [4] Y. Eliashberg, A. Givental, and H. Hofer. Introduction to symplectic field theory. *Geom. Funct. Anal.*, (Special Volume, Part II) :560–673, 2000. GAFA 2000 (Tel Aviv, 1999).
- [5] A. Gathmann and H. Markwig. The Caporaso-Harris formula and plane relative Gromov-Witten invariants in tropical geometry. *Prépublication math.AG/0504392*, 2005.
- [6] H. Hofer, K. Wysocki, and E. Zehnder. Properties of pseudoholomorphic curves in symplectisations. I. Asymptotics. *Ann. Inst. H. Poincaré Anal. Non Linéaire*, 13(3) :337–379, 1996.

- [7] H. Hofer, K. Wysocki, and E. Zehnder. Properties of pseudoholomorphic curves in symplectizations. III. Fredholm theory. In *Topics in nonlinear analysis*, volume 35 of *Progr. Nonlinear Differential Equations Appl.*, pages 381–475. Birkhäuser, Basel, 1999.
- [8] E.-N. Ionel and T. H. Parker. The symplectic sum formula for Gromov-Witten invariants. *Ann. of Math. (2)*, 159(3) :935–1025, 2004.
- [9] I. V. Itenberg, V. M. Kharlamov, and E. I. Shustin. Logarithmic equivalence of the Welschinger and the Gromov-Witten invariants. *Uspekhi Mat. Nauk*, 59(6(360)) :85–110, 2004.
- [10] I. V. Itenberg, V. M. Kharlamov, and E. I. Shustin. A Caporaso-Harris type formula for Welschinger invariants of real toric Del Pezzo surfaces. *Prépublication math.AG/0608549*, 2006.
- [11] S. Ivashkovich and V. Shevchishin. Structure of the moduli space in a neighborhood of a cusp-curve and meromorphic hulls. *Invent. Math.*, 136(3) :571–602, 1999.
- [12] E. Katz. Formalism for Relative Gromov-Witten Invariants. *Prépublication math.AG/0507321*, 2005. À paraître dans *J. Symplectic Geom.*
- [13] G. Mikhalkin. Enumerative tropical algebraic geometry in \mathbb{R}^2 . *J. Amer. Math. Soc.*, 18(2) :313–377 (electronic), 2005.
- [14] R. Pandharipande, J. Solomon, and J. Walcher. Disk enumeration on the quintic 3-fold. *Prépublication math.SG/0610901*, 2006.
- [15] E. Shustin. A tropical calculation of the Welschinger invariants of real toric del Pezzo surfaces. *J. Algebraic Geom.*, 15(2) :285–322, 2006.
- [16] E. Shustin. Welschinger invariants of toric del pezzo surfaces with non-standard real structures. *Prépublication math.AG/0605697*, 2006.
- [17] J. P. Solomon. Intersection theory on the moduli space of holomorphic curves with Lagrangian boundary conditions. *Prépublication math.SG/0606429*, 2006.
- [18] R. Vakil. Counting curves on rational surfaces. *Manuscripta Math.*, 102(1) :53–84, 2000.
- [19] A. Weinstein. Symplectic manifolds and their Lagrangian submanifolds. *Advances in Math.*, 6 :329–346 (1971), 1971.
- [20] J.-Y. Welschinger. Enumerative invariants of strongly semipositive real symplectic manifolds. *Prépublication math.AG/0509121*, 2005.
- [21] J.-Y. Welschinger. Invariants of real symplectic 4-manifolds and lower bounds in real enumerative geometry. *Invent. Math.*, 162(1) :195–234, 2005.
- [22] J.-Y. Welschinger. Spinor states of real rational curves in real algebraic convex 3-manifolds and enumerative invariants. *Duke Math. J.*, 127(1) :89–121, 2005.
- [23] J.-Y. Welschinger. Towards relative invariants of real symplectic four-manifolds. *Geom. Funct. Anal.*, 16(5) :1157–1182, 2006.
- [24] J.-Y. Welschinger. Invariant count of holomorphic disks in the cotangent bundles of the two-sphere and real projective plane. *C. R. Math. Acad. Sci. Paris*, 344(5) :313–316, 2007.

Unité de mathématiques pures et appliquées de l'École normale supérieure de Lyon,
CNRS - Université de Lyon.

$$B_0^5 = \left\{ \begin{array}{c} \bullet \text{ } e+f \\ | \\ 1 \\ | \\ \bullet \text{ } s_0 \end{array} \right\} = B_2^5$$

$$B_1^6 = \left\{ \begin{array}{c} \bullet \text{ } f \quad \bullet \text{ } e+f \\ / \quad \backslash \\ 1 \quad 1 \\ \backslash \quad / \\ \bullet \text{ } s_0 \end{array} \right\}, \left\{ \begin{array}{c} \bullet \text{ } e+2f \\ | \\ 2 \\ | \\ \bullet \text{ } s_0 \end{array} \right\} = B_3^6$$

$$B_0^7 = \left\{ \begin{array}{c} \bullet \text{ } e+2f \quad \bullet \\ / \quad \backslash \\ 1 \quad 1 \\ \backslash \quad / \\ \bullet \text{ } s_0 \end{array} \right\}, \left\{ \begin{array}{c} \bullet \text{ } e+3f \\ / \quad \backslash \\ 2 \quad \bullet \\ | \\ 1 \\ | \\ \bullet \text{ } s_0 \end{array} \right\}$$

$$B_2^7 = \left\{ \begin{array}{c} \bullet \text{ } f \quad \bullet \text{ } f \quad \bullet \text{ } e+f \\ / \quad | \quad \backslash \\ 1 \quad 1 \quad 1 \\ \backslash \quad / \quad \backslash \\ \bullet \text{ } s_0 \end{array} \right\}, \left\{ \begin{array}{c} \bullet \text{ } f \quad \bullet \text{ } e+2f \\ / \quad \backslash \\ 1 \quad 2 \\ \backslash \quad / \\ \bullet \text{ } s_0 \end{array} \right\}, \left\{ \begin{array}{c} \bullet \text{ } e+3f \\ | \\ 3 \\ | \\ \bullet \text{ } s_0 \end{array} \right\}, \left\{ \begin{array}{c} \bullet \text{ } e+2f \quad \bullet \\ / \quad \backslash \\ 1 \quad 1 \\ \backslash \quad / \\ \bullet \text{ } s_0 \end{array} \right\}, \left\{ \begin{array}{c} \bullet \text{ } e+3f \\ / \quad \backslash \\ 1 \quad \bullet \\ | \\ 2 \\ | \\ \bullet \text{ } s_0 \end{array} \right\}$$

$$B_1^8 = \left\{ \begin{array}{c} \bullet \text{ } e+2f \quad \bullet \\ / \quad \backslash \\ 1 \quad 1 \\ \backslash \quad / \\ \bullet \text{ } f \quad \bullet \text{ } f \\ / \quad \backslash \\ 1 \quad 1 \\ \backslash \quad / \\ \bullet \text{ } s_0 \end{array} \right\}, \left\{ \begin{array}{c} \bullet \text{ } e+3f \quad \bullet \\ / \quad \backslash \\ 2 \quad \bullet \\ | \\ 1 \\ | \\ \bullet \text{ } f \\ / \quad \backslash \\ 1 \quad 1 \\ \backslash \quad / \\ \bullet \text{ } s_0 \end{array} \right\}, \left\{ \begin{array}{c} \bullet \text{ } e+3f \quad \bullet \\ / \quad \backslash \\ 1 \quad 1 \\ \backslash \quad / \\ \bullet \text{ } f \quad \bullet \\ / \quad \backslash \\ 2 \quad \bullet \\ | \\ 1 \\ | \\ \bullet \text{ } s_0 \end{array} \right\}, \left\{ \begin{array}{c} \bullet \text{ } e+4f \\ / \quad \backslash \\ 2 \quad \bullet \\ | \\ 2 \\ | \\ \bullet \text{ } s_0 \end{array} \right\}$$

FIG. 2 – Arbres projectifs décorés

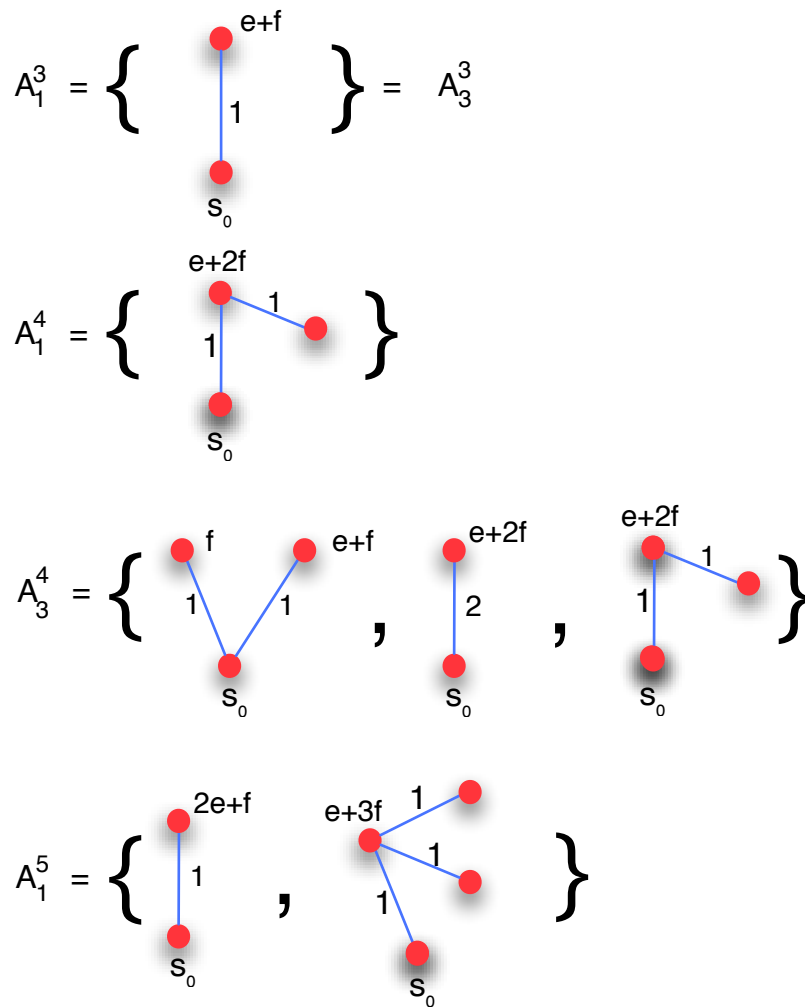


FIG. 3 – Arbres deux-sphériques décorés